

Jahrestagung GRK1194 — Oktober 2010

Dennis Schieferdecker – *dennis.schieferdecker@kit.edu*

Institut für Theoretische Informatik - Algorithmik II



Randerkennung & Routing

- | -

Randerkennung

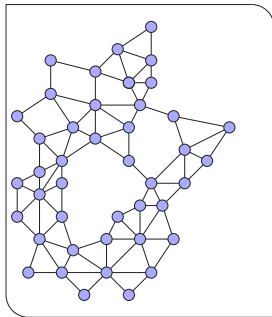
in Sensornetzen

Problemstellung

- geg. Sensornetzwerk mit Verbindungen, welche Knoten sitzen am Rand?
- äußerer Rand → Ausdehnung
innerer Rand → Loch

Anwendungsgebiete

- Erkennen von Eindringlingen
- effizientes Routing
- Indikatoren für nicht ausreichende Überdeckung / Verbindungen

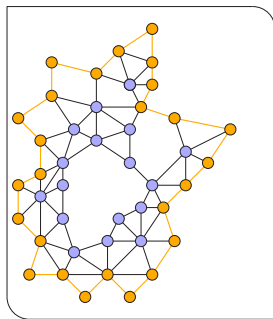


Problemstellung

- geg. Sensornetzwerk mit Verbindungen, welche Knoten sitzen am Rand?
- **äußerer Rand** → **Ausdehnung**
innerer Rand → Loch

Anwendungsgebiete

- Erkennen von Eindringlingen
- effizientes Routing
- Indikatoren für nicht ausreichende Überdeckung / Verbindungen

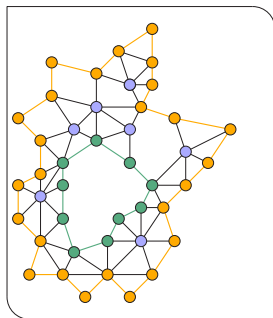


Problemstellung

- geg. Sensornetzwerk mit Verbindungen, welche Knoten sitzen am Rand?
- äußerer Rand → Ausdehnung
innerer Rand → Loch

Anwendungsgebiete

- Erkennen von Eindringlingen
- effizientes Routing
- Indikatoren für nicht ausreichende Überdeckung / Verbindungen

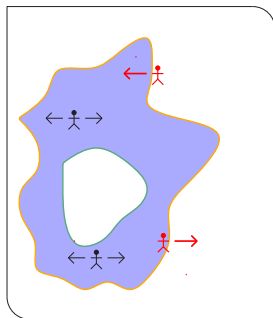


Problemstellung

- geg. Sensornetzwerk mit Verbindungen, welche Knoten sitzen am Rand?
- äußerer Rand → Ausdehnung
- innerer Rand → Loch

Anwendungsgebiete

- Erkennen von Eindringlingen
- effizientes Routing
- Indikatoren für nicht ausreichende Überdeckung / Verbindungen

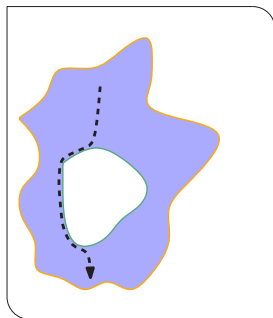


Problemstellung

- geg. Sensornetzwerk mit Verbindungen, welche Knoten sitzen am Rand?
- äußerer Rand → Ausdehnung
- innerer Rand → Loch

Anwendungsgebiete

- Erkennen von Eindringlingen
- **effizientes Routing**
- Indikatoren für nicht ausreichende Überdeckung / Verbindungen

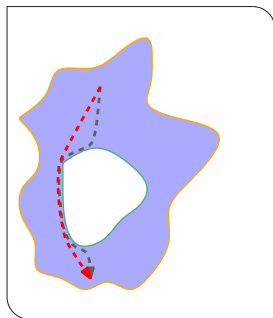


Problemstellung

- geg. Sensornetzwerk mit Verbindungen, welche Knoten sitzen am Rand?
- äußerer Rand → Ausdehnung
- innerer Rand → Loch

Anwendungsgebiete

- Erkennen von Eindringlingen
- **effizientes Routing**
- Indikatoren für nicht ausreichende Überdeckung / Verbindungen

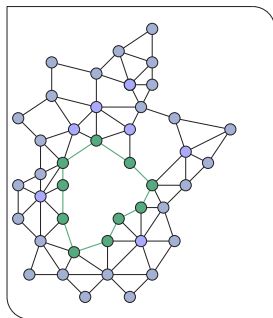


Problemstellung

- geg. Sensornetzwerk mit Verbindungen, welche Knoten sitzen am Rand?
- äußerer Rand → Ausdehnung
innerer Rand → Loch

Anwendungsgebiete

- Erkennen von Eindringlingen
- effizientes Routing
- Indikatoren für nicht ausreichende Überdeckung / Verbindungen

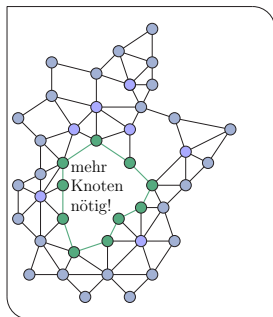


Problemstellung

- geg. Sensornetzwerk mit Verbindungen, welche Knoten sitzen am Rand?
- äußerer Rand → Ausdehnung
innerer Rand → Loch

Anwendungsgebiete

- Erkennen von Eindringlingen
- effizientes Routing
- Indikatoren für nicht ausreichende Überdeckung / Verbindungen

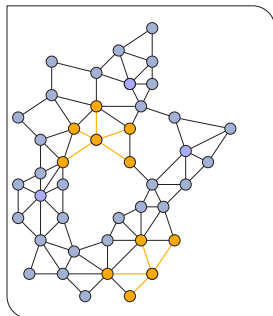


grundlegende Unterteilung

- lokale / globale Verfahren (verteilt / zentral)

verschiedene Strategien

- geometrisch
 - Positions- oder Winkelinformationen
 - Daten selten vorhanden
- topologisch
 - Verbindungsinformation bzw. Graphstruktur
 - aufwändige Verfahren
- statistisch
 - Knoten- oder Verbindungsdichte
 - benötigt hohen, gleichmäßigen Grad

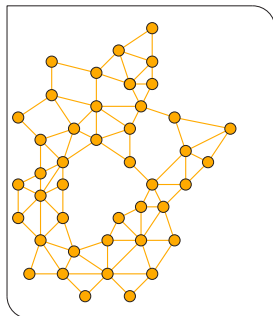


grundlegende Unterteilung

- lokale / **globale Verfahren** (verteilt / zentral)

verschiedene Strategien

- geometrisch
 - Positions- oder Winkelinformationen
 - Daten selten vorhanden
- topologisch
 - Verbindungsinformation bzw. Graphstruktur
 - aufwändige Verfahren
- statistisch
 - Knoten- oder Verbindungsdichte
 - benötigt hohen, gleichmäßigen Grad

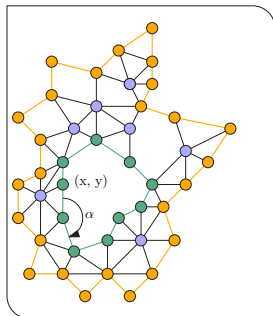


grundlegende Unterteilung

- lokale / globale Verfahren (verteilt / zentral)

verschiedene Strategien

- **geometrisch**
 - Positions- oder Winkelinformationen
 - Daten selten vorhanden
- **topologisch**
 - Verbindungsinformation bzw. Graphstruktur
 - aufwändige Verfahren
- **statistisch**
 - Knoten- oder Verbindungsdichte
 - benötigt hohen, gleichmäßigen Grad

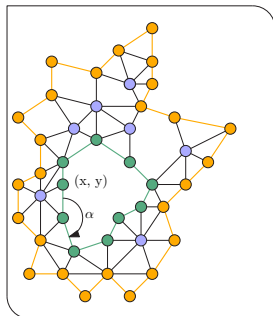


grundlegende Unterteilung

- lokale / globale Verfahren (verteilt / zentral)

verschiedene Strategien

- **geometrisch**
 - Positions- oder Winkelinformationen
 - **Daten selten vorhanden**
- **topologisch**
 - Verbindungsinformation bzw. Graphstruktur
 - aufwändige Verfahren
- **statistisch**
 - Knoten- oder Verbindungsdichte
 - benötigt hohen, gleichmäßigen Grad

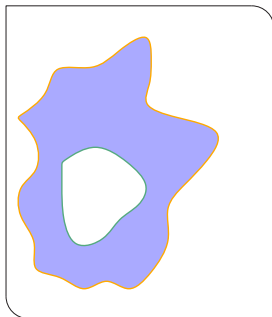


grundlegende Unterteilung

- lokale / globale Verfahren (verteilt / zentral)

verschiedene Strategien

- geometrisch
 - Positions- oder Winkelinformationen
 - Daten selten vorhanden
- topologisch
 - Verbindungsinformation bzw. Graphstruktur
 - aufwändige Verfahren
- statistisch
 - Knoten- oder Verbindungsdichte
 - benötigt hohen, gleichmäßigen Grad

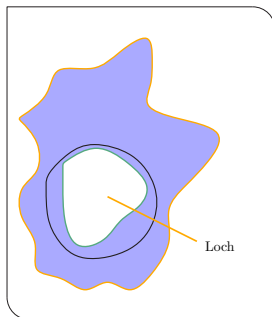


grundlegende Unterteilung

- lokale / globale Verfahren (verteilt / zentral)

verschiedene Strategien

- geometrisch
 - Positions- oder Winkelinformationen
 - Daten selten vorhanden
- topologisch
 - Verbindungsinformation bzw. Graphstruktur
 - aufwändige Verfahren
- statistisch
 - Knoten- oder Verbindungsdichte
 - benötigt hohen, gleichmäßigen Grad

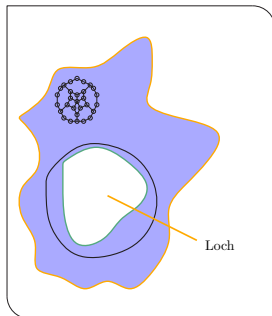


grundlegende Unterteilung

- lokale / globale Verfahren (verteilt / zentral)

verschiedene Strategien

- geometrisch
 - Positions- oder Winkelinformationen
 - Daten selten vorhanden
- topologisch
 - Verbindungsinformation bzw. Graphstruktur
 - aufwändige Verfahren
- statistisch
 - Knoten- oder Verbindungsdichte
 - benötigt hohen, gleichmäßigen Grad

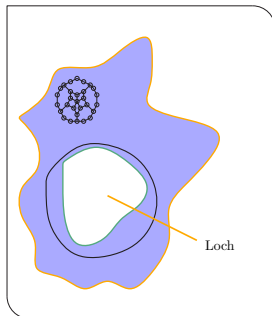


grundlegende Unterteilung

- lokale / globale Verfahren (verteilt / zentral)

verschiedene Strategien

- geometrisch
 - Positions- oder Winkelinformationen
 - Daten selten vorhanden
- topologisch
 - Verbindungsinformation bzw. Graphstruktur
 - **aufwändige Verfahren**
- statistisch
 - Knoten- oder Verbindungsdichte
 - benötigt hohen, gleichmäßigen Grad

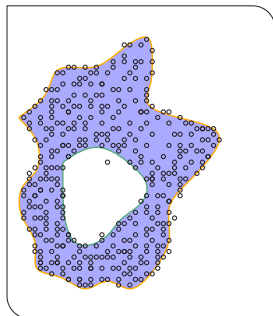


grundlegende Unterteilung

- lokale / globale Verfahren (verteilt / zentral)

verschiedene Strategien

- geometrisch
 - Positions- oder Winkelinformationen
 - Daten selten vorhanden
- topologisch
 - Verbindungsinformation bzw. Graphstruktur
 - aufwändige Verfahren
- **statistisch**
 - Knoten- oder Verbindungsdichte
 - benötigt hohen, gleichmäßigen Grad

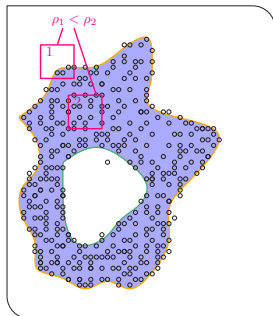


grundlegende Unterteilung

- lokale / globale Verfahren (verteilt / zentral)

verschiedene Strategien

- geometrisch
 - Positions- oder Winkelinformationen
 - Daten selten vorhanden
- topologisch
 - Verbindungsinformation bzw. Graphstruktur
 - aufwändige Verfahren
- **statistisch**
 - Knoten- oder Verbindungsdichte
 - benötigt hohen, gleichmäßigen Grad

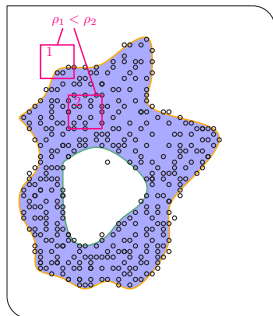


grundlegende Unterteilung

- lokale / globale Verfahren (verteilt / zentral)

verschiedene Strategien

- geometrisch
 - Positions- oder Winkelinformationen
 - Daten selten vorhanden
- topologisch
 - Verbindungsinformation bzw. Graphstruktur
 - aufwändige Verfahren
- **statistisch**
 - Knoten- oder Verbindungsdichte
 - **benötigt hohen, gleichmäßigen Grad**

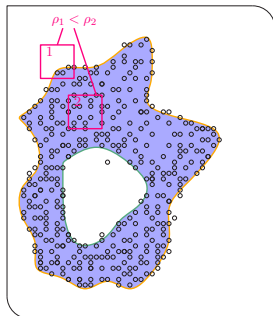


grundlegende Unterteilung

- lokale / globale Verfahren (verteilt / zentral)

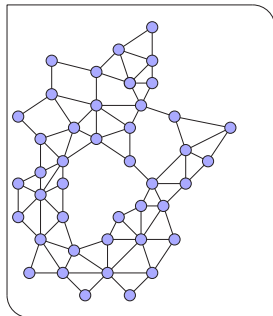
verschiedene Strategien

- geometrisch
 - Positions- oder Winkelinformationen
 - Daten selten vorhanden
- topologisch
 - Verbindungsinformation bzw. Graphstruktur
 - aufwändige Verfahren
- statistisch
 - Knoten- oder Verbindungsdichte
 - benötigt hohen, gleichmäßigen Grad



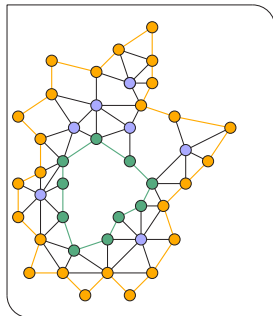
Was ist ein Loch / was gehört zum Rand?

- viele mögliche Definitionen
- praktisch motiviert
 - "weiße Flächen"
- topologisch motiviert
 - kontinuierliche Betrachtung
 - Einbettung des Verbindungsgraphen (gegebene / irgendeine korrekte Einbettung)
- wichtig für quantitative Analyse
- wichtig für quantitative Analyse



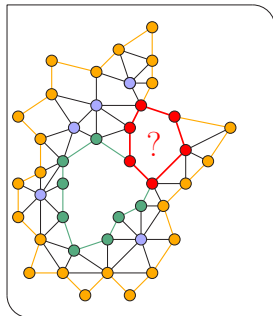
Was ist ein Loch / was gehört zum Rand?

- viele mögliche Definitionen
- praktisch motiviert
 - "weiße Flächen"
- topologisch motiviert
 - kontinuierliche Betrachtung
 - Einbettung des Verbindungsgraphen (gegebene / irgendeine korrekte Einbettung)
- wichtig für quantitative Analyse
- wichtig für quantitative Analyse



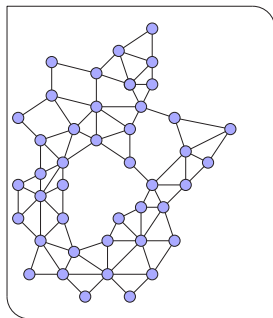
Was ist ein Loch / was gehört zum Rand?

- viele mögliche Definitionen
- praktisch motiviert
 - "weiße Flächen"
- topologisch motiviert
 - kontinuierliche Betrachtung
 - Einbettung des Verbindungsgraphen (gegebene / irgendeine korrekte Einbettung)
- wichtig für quantitative Analyse
- wichtig für quantitative Analyse



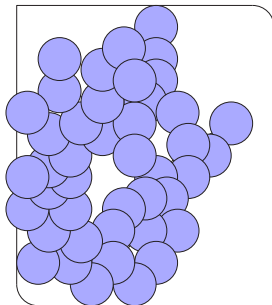
Was ist ein Loch / was gehört zum Rand?

- viele mögliche Definitionen
- **praktisch motiviert**
 - "weiße Flächen"
- topologisch motiviert
 - kontinuierliche Betrachtung
 - Einbettung des Verbindungsgraphen
(gegebene / irgendeine korrekte Einbettung)
- wichtig für quantitative Analyse
- wichtig für quantitative Analyse



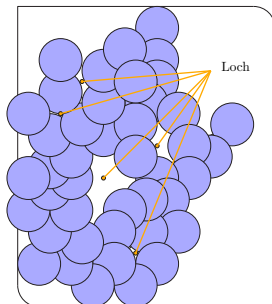
Was ist ein Loch / was gehört zum Rand?

- viele mögliche Definitionen
- praktisch motiviert
 - "weiße Flächen"
- topologisch motiviert
 - kontinuierliche Betrachtung
 - Einbettung des Verbindungsgraphen
(gegebene / irgendeine korrekte Einbettung)
- wichtig für quantitative Analyse
- wichtig für quantitative Analyse



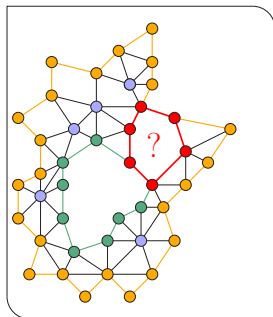
Was ist ein Loch / was gehört zum Rand?

- viele mögliche Definitionen
- praktisch motiviert
 - "weiße Flächen"
- topologisch motiviert
 - kontinuierliche Betrachtung
 - Einbettung des Verbindungsgraphen
(gegebene / irgendeine korrekte Einbettung)
- wichtig für quantitative Analyse
- wichtig für quantitative Analyse



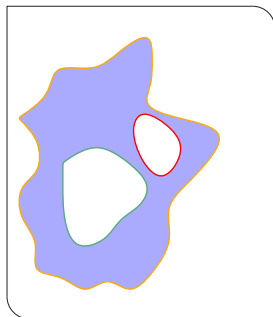
Was ist ein Loch / was gehört zum Rand?

- viele mögliche Definitionen
- praktisch motiviert
 - "weiße Flächen"
- topologisch motiviert
 - kontinuierliche Betrachtung
 - Einbettung des Verbindungsgraphen (gegebene / irgendeine korrekte Einbettung)
- wichtig für quantitative Analyse
- wichtig für quantitative Analyse



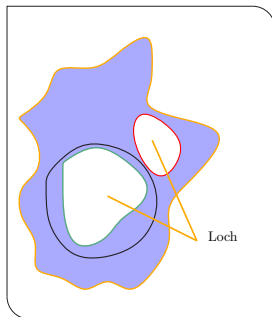
Was ist ein Loch / was gehört zum Rand?

- viele mögliche Definitionen
- praktisch motiviert
 - "weiße Flächen"
- topologisch motiviert
 - **kontinuierliche Betrachtung**
 - Einbettung des Verbindungsgraphen
(gegebene / irgendeine korrekte Einbettung)
- wichtig für quantitative Analyse
- wichtig für quantitative Analyse



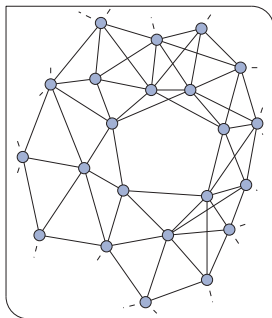
Was ist ein Loch / was gehört zum Rand?

- viele mögliche Definitionen
- praktisch motiviert
 - "weiße Flächen"
- topologisch motiviert
 - kontinuierliche Betrachtung
 - Einbettung des Verbindungsgraphen
(gegebene / irgendeine korrekte Einbettung)
- wichtig für quantitative Analyse
- wichtig für quantitative Analyse



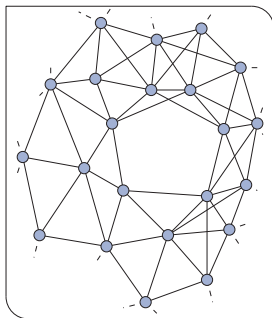
Was ist ein Loch / was gehört zum Rand?

- viele mögliche Definitionen
- praktisch motiviert
 - "weiße Flächen"
- topologisch motiviert
 - kontinuierliche Betrachtung
 - Einbettung des Verbindungsgraphen
(gegebene / irgendeine korrekte Einbettung)
- wichtig für quantitative Analyse
- wichtig für quantitative Analyse



Was ist ein Loch / was gehört zum Rand?

- viele mögliche Definitionen
- praktisch motiviert
 - "weiße Flächen"
- topologisch motiviert
 - kontinuierliche Betrachtung
 - Einbettung des Verbindungsgraphen (gegebene / irgendeine korrekte Einbettung)
- wichtig für quantitative Analyse
- wichtig für quantitative Analyse



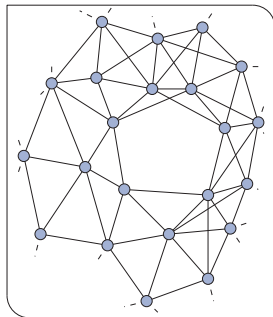
Definition: Loch

- basierend auf gegebener, realer Einbettung des Verbindungsgraphen
- Facetten mit Umfang größer h_{min}
⇒ Löcher

Definition: Randknoten

Unterteilung in 3 Kategorien:

- verbindliche Randknoten
- optionale Randknoten
- innere Knoten



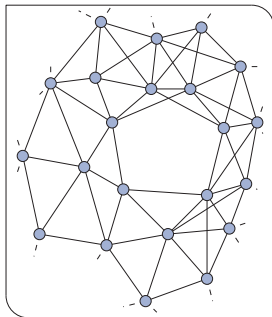
Definition: Loch

- basierend auf gegebener, **realer Einbettung** des Verbindungsgraphen
- Facetten mit Umfang größer h_{min}
⇒ Löcher

Definition: Randknoten

Unterteilung in 3 Kategorien:

- verbindliche Randknoten
- optionale Randknoten
- innere Knoten



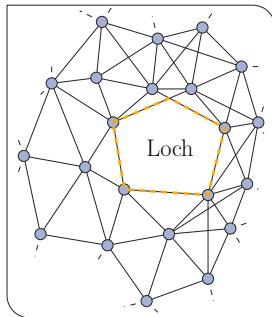
Definition: Loch

- basierend auf gegebener, realer Einbettung des Verbindungsgraphen
- Facetten mit **Umfang größer h_{min}**
⇒ Löcher

Definition: Randknoten

Unterteilung in 3 Kategorien:

- verbindliche Randknoten
- optionale Randknoten
- innere Knoten



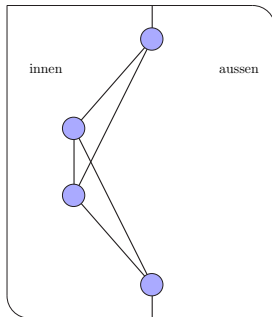
Definition: Loch

- basierend auf gegebener, realer Einbettung des Verbindungsgraphen
- Facetten mit Umfang größer h_{min}
⇒ Löcher

Definition: Randknoten

Unterteilung in 3 Kategorien:

- verbindliche Randknoten
- optionale Randknoten
- innere Knoten



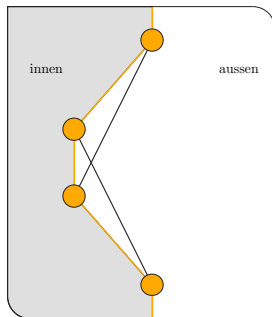
Definition: Loch

- basierend auf gegebener, realer Einbettung des Verbindungsgraphen
- Facetten mit Umfang größer h_{min}
⇒ Löcher

Definition: Randknoten

Unterteilung in 3 Kategorien:

- verbindliche Randknoten
- optionale Randknoten
- innere Knoten



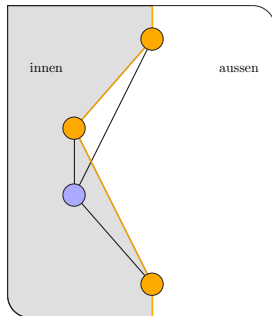
Definition: Loch

- basierend auf gegebener, realer Einbettung des Verbindungsgraphen
- Facetten mit Umfang größer h_{min}
⇒ Löcher

Definition: Randknoten

Unterteilung in 3 Kategorien:

- verbindliche Randknoten
- optionale Randknoten
- innere Knoten



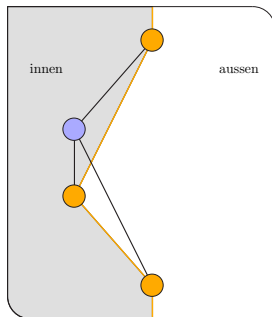
Definition: Loch

- basierend auf gegebener, realer Einbettung des Verbindungsgraphen
- Facetten mit Umfang größer h_{min}
⇒ Löcher

Definition: Randknoten

Unterteilung in 3 Kategorien:

- verbindliche Randknoten
- optionale Randknoten
- innere Knoten



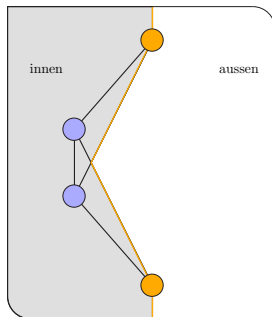
Definition: Loch

- basierend auf gegebener, realer Einbettung des Verbindungsgraphen
- Facetten mit Umfang größer h_{min}
⇒ Löcher

Definition: Randknoten

Unterteilung in 3 Kategorien:

- verbindliche Randknoten
- optionale Randknoten
- innere Knoten



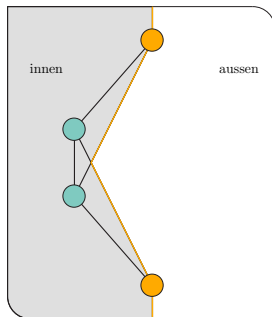
Definition: Loch

- basierend auf gegebener, realer Einbettung des Verbindungsgraphen
- Facetten mit Umfang größer h_{min}
⇒ Löcher

Definition: Randknoten

Unterteilung in 3 Kategorien:

- verbindliche Randknoten
- optionale Randknoten
- innere Knoten



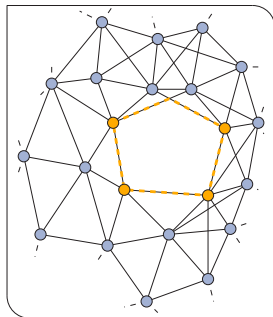
Definition: Loch

- basierend auf gegebener, realer Einbettung des Verbindungsgraphen
- Facetten mit Umfang größer h_{min}
⇒ Löcher

Definition: Randknoten

Unterteilung in 3 Kategorien:

- verbindliche Randknoten
- optionale Randknoten
- innere Knoten



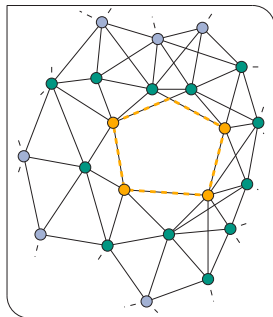
Definition: Loch

- basierend auf gegebener, realer Einbettung des Verbindungsgraphen
- Facetten mit Umfang größer h_{min}
⇒ Löcher

Definition: Randknoten

Unterteilung in 3 Kategorien:

- verbindliche Randknoten
- optionale Randknoten
- innere Knoten



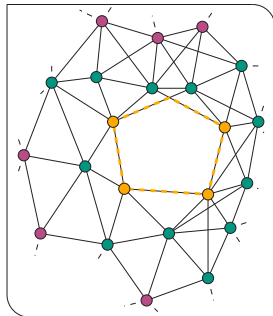
Definition: Loch

- basierend auf gegebener, realer Einbettung des Verbindungsgraphen
- Facetten mit Umfang größer h_{min}
⇒ Löcher

Definition: Randknoten

Unterteilung in 3 Kategorien:

- verbindliche Randknoten
- optionale Randknoten
- innere Knoten



Loch- und Randmodell

Definitionen

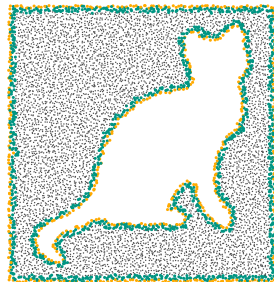
Definition: Loch

- basierend auf gegebener, realer Einbettung des Verbindungsgraphen
- Facetten mit Umfang größer h_{min}
⇒ Löcher

Definition: Randknoten

Unterteilung in 3 Kategorien:

- verbindliche Randknoten
- optionale Randknoten
- innere Knoten



Loch- und Randmodell

Definitionen

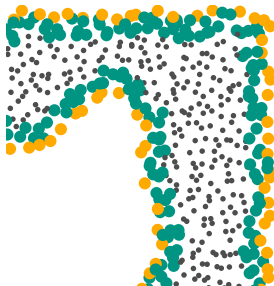
Definition: Loch

- basierend auf gegebener, realer Einbettung des Verbindungsgraphen
- Facetten mit Umfang größer h_{min}
⇒ Löcher

Definition: Randknoten

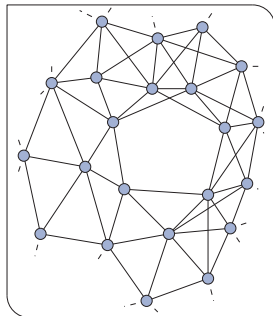
Unterteilung in 3 Kategorien:

- verbindliche Randknoten
- optionale Randknoten
- innere Knoten



Eigenschaften

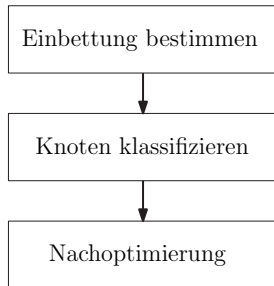
- verteilter Algorithmus
- verwendet nur lokale Informationen
- benötigt nur Verbindungsinformation
 - nominell topologisches Verfahren
- im Kern aber geometrisches Verfahren
 - Koordinaten werden geschätzt
- einfache Beschreibung



Ablauf

- Schätzung von Knotenpositionen
 - Multi-Dimensional Scaling (MDS)
- Einteilung als Rand- oder innerer Knoten
 - Bedingungen an Winkel und Verbindungen
- Nachoptimierung
 - Entfernung von "Rauschen"

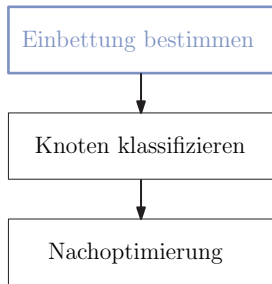
(Ablauf unabhängig in jedem Knoten)



Ablauf

- Schätzung von Knotenpositionen
 - Multi-Dimensional Scaling (MDS)
- Einteilung als Rand- oder innerer Knoten
 - Bedingungen an Winkel und Verbindungen
- Nachoptimierung
 - Entfernung von "Rauschen"

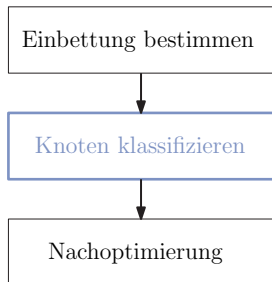
(Ablauf unabhängig in jedem Knoten)



Ablauf

- Schätzung von Knotenpositionen
 - Multi-Dimensional Scaling (MDS)
- Einteilung als Rand- oder innerer Knoten
 - Bedingungen an Winkel und Verbindungen
- Nachoptimierung
 - Entfernung von "Rauschen"

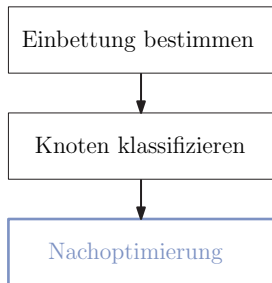
(Ablauf unabhängig in jedem Knoten)



Ablauf

- Schätzung von Knotenpositionen
 - Multi-Dimensional Scaling (MDS)
- Einteilung als Rand- oder innerer Knoten
 - Bedingungen an Winkel und Verbindungen
- **Nachoptimierung**
 - Entfernung von "Rauschen"

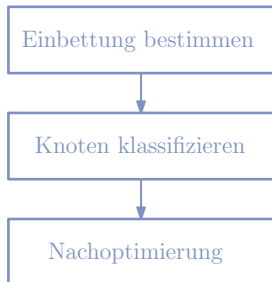
(Ablauf unabhängig in jedem Knoten)



Ablauf

- Schätzung von Knotenpositionen
 - Multi-Dimensional Scaling (MDS)
- Einteilung als Rand- oder innerer Knoten
 - Bedingungen an Winkel und Verbindungen
- Nachoptimierung
 - Entfernung von "Rauschen"

(Ablauf unabhängig in jedem Knoten)



Randerkennungsverfahren

Multi-Dimensional Scaling (MDS)

gegeben

- Distanzen δ_{ij} zwischen allen Knoten i und j

gesucht

- Einbettung $\{x_1, \dots, x_n\}$ aller Knoten in \mathbb{R}^2
mit $\sum_{i \neq j} (\|x_i - x_j\| - \delta_{ij})^2$ minimal

Ablauf

- sei $\mathbf{X} = [x_1, \dots, x_n]^T$, $\mathbf{B} = \mathbf{X}\mathbf{X}^T = (b_{ij})$ mit
$$b_{ij} = -\frac{1}{2} \left(\delta_{ij}^2 - \frac{1}{n} \sum \delta_{rj}^2 - \frac{1}{n} \sum \delta_{is}^2 + \frac{1}{n^2} \sum \sum \delta_{rs}^2 \right) \quad (\text{double-centering})$$
- $\mathbf{B} = \mathbf{V}\mathbf{D}\mathbf{V}^T$ diagonalisierbar
- Verwende größte 2 Eigenwerte, um $\mathbf{X} = \mathbf{V}\mathbf{D}^{1/2}$ zu nähern

Randerkennungsverfahren

Multi-Dimensional Scaling (MDS)

gegeben

- Distanzen δ_{ij} zwischen allen Knoten i und j

gesucht

- Einbettung $\{x_1, \dots, x_n\}$ aller Knoten in \mathbb{R}^2
mit $\sum_{i \neq j} (\|x_i - x_j\| - \delta_{ij})^2$ minimal

Ablauf

- sei $\mathbf{X} = [x_1, \dots, x_n]^T$, $\mathbf{B} = \mathbf{X}\mathbf{X}^T = (b_{ij})$ mit
$$b_{ij} = -\frac{1}{2} \left(\delta_{ij}^2 - \frac{1}{n} \sum \delta_{rj}^2 - \frac{1}{n} \sum \delta_{is}^2 + \frac{1}{n^2} \sum \sum \delta_{rs}^2 \right) \quad (\text{double-centering})$$
- $\mathbf{B} = \mathbf{V}\mathbf{D}\mathbf{V}^T$ diagonalisierbar
- Verwende größte 2 Eigenwerte, um $\mathbf{X} = \mathbf{V}\mathbf{D}^{1/2}$ zu nähern

Randerkennungsverfahren

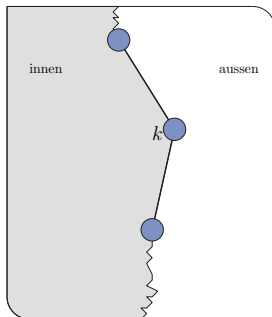
Knotenklassifikation

Beobachtung

- typischerweise große Winkel am Rand
- Vermeidung von Mikrolöchern

Ablauf

- betrachte 1-Hop Nachbarschaft von k
- bestimme größten Winkel $\alpha = \sphericalangle(l, k, m)$
 - falls $\alpha > \alpha_{min}$: k Kandidat für Randknoten
- betrachte Nachbarn q von l und m
 - falls sich q im Winkelbereich $\sphericalangle(l, k, m)$ befindet: k kein Randknoten

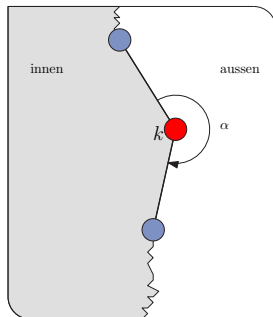


Beobachtung

- typischerweise große Winkel am Rand
- Vermeidung von Mikrolöchern

Ablauf

- betrachte 1-Hop Nachbarschaft von k
- bestimme größten Winkel $\alpha = \sphericalangle(l, k, m)$
 - falls $\alpha > \alpha_{min}$: k Kandidat für Randknoten
- betrachte Nachbarn q von l und m
 - falls sich q im Winkelbereich $\sphericalangle(l, k, m)$ befindet: k kein Randknoten



Randerkennungsverfahren

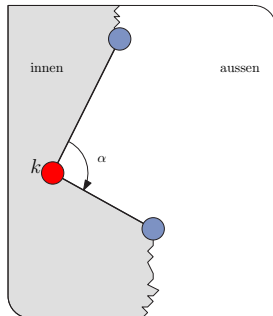
Knotenklassifikation

Beobachtung

- typischerweise große Winkel am Rand
- Vermeidung von Mikrolöchern

Ablauf

- betrachte 1-Hop Nachbarschaft von k
- bestimme größten Winkel $\alpha = \sphericalangle(l, k, m)$
 - falls $\alpha > \alpha_{min}$: k Kandidat für Randknoten
- betrachte Nachbarn q von l und m
 - falls sich q im Winkelbereich $\sphericalangle(l, k, m)$ befindet: k kein Randknoten

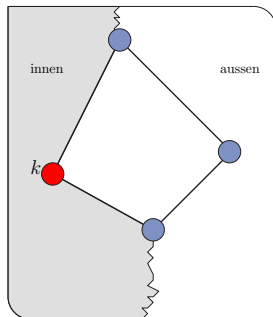


Beobachtung

- typischerweise große Winkel am Rand
- Vermeidung von Mikrolöchern

Ablauf

- betrachte 1-Hop Nachbarschaft von k
- bestimme größten Winkel $\alpha = \sphericalangle(l, k, m)$
 - falls $\alpha > \alpha_{min}$: k Kandidat für Randknoten
- betrachte Nachbarn q von l und m
 - falls sich q im Winkelbereich $\sphericalangle(l, k, m)$ befindet: k kein Randknoten

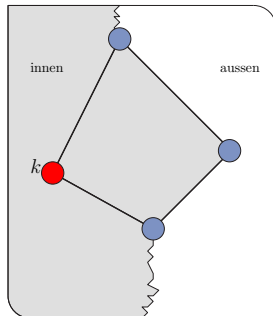


Beobachtung

- typischerweise große Winkel am Rand
- Vermeidung von Mikrolöchern

Ablauf

- betrachte 1-Hop Nachbarschaft von k
- bestimme größten Winkel $\alpha = \sphericalangle(l, k, m)$
 - falls $\alpha > \alpha_{min}$: k Kandidat für Randknoten
- betrachte Nachbarn q von l und m
 - falls sich q im Winkelbereich $\sphericalangle(l, k, m)$ befindet: k kein Randknoten



Randerkennungsverfahren

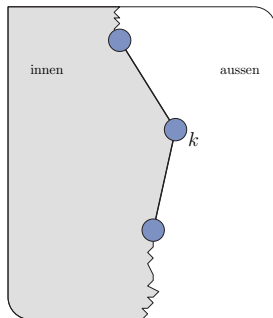
Knotenklassifikation

Beobachtung

- typischerweise große Winkel am Rand
- Vermeidung von Mikrolöchern

Ablauf

- betrachte 1-Hop Nachbarschaft von k
- bestimme größten Winkel $\alpha = \sphericalangle(l, k, m)$
 - falls $\alpha > \alpha_{min}$: k Kandidat für Randknoten
- betrachte Nachbarn q von l und m
 - falls sich q im Winkelbereich $\sphericalangle(l, k, m)$ befindet: k kein Randknoten



Randerkennungsverfahren

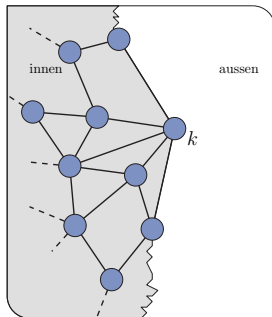
Knotenklassifikation

Beobachtung

- typischerweise große Winkel am Rand
- Vermeidung von Mikrolöchern

Ablauf

- betrachte 1-Hop Nachbarschaft von k
- bestimme größten Winkel $\alpha = \sphericalangle(l, k, m)$
 - falls $\alpha > \alpha_{min}$: k Kandidat für Randknoten
- betrachte Nachbarn q von l und m
 - falls sich q im Winkelbereich $\sphericalangle(l, k, m)$ befindet: k kein Randknoten



Randerkennungsverfahren

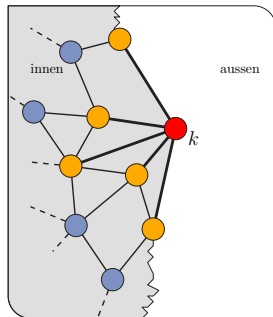
Knotenklassifikation

Beobachtung

- typischerweise große Winkel am Rand
- Vermeidung von Mikrolöchern

Ablauf

- betrachte 1-Hop Nachbarschaft von k
- bestimme größten Winkel $\alpha = \sphericalangle(l, k, m)$
 - falls $\alpha > \alpha_{min}$: k Kandidat für Randknoten
- betrachte Nachbarn q von l und m
 - falls sich q im Winkelbereich $\sphericalangle(l, k, m)$ befindet: k kein Randknoten



Randerkennungsverfahren

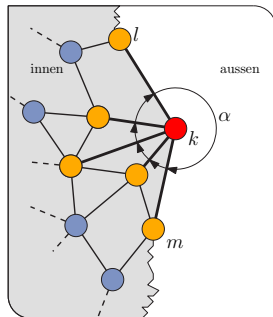
Knotenklassifikation

Beobachtung

- typischerweise große Winkel am Rand
- Vermeidung von Mikrolöchern

Ablauf

- betrachte 1-Hop Nachbarschaft von k
- **bestimme größten Winkel $\alpha = \sphericalangle(l, k, m)$**
 - falls $\alpha > \alpha_{min}$: k Kandidat für Randknoten
- betrachte Nachbarn q von l und m
 - falls sich q im Winkelbereich $\sphericalangle(l, k, m)$ befindet: k kein Randknoten



Randerkennungsverfahren

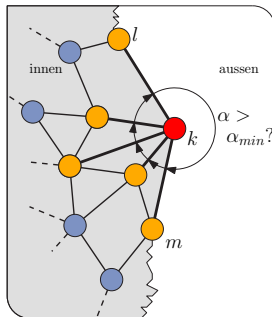
Knotenklassifikation

Beobachtung

- typischerweise große Winkel am Rand
- Vermeidung von Mikrolöchern

Ablauf

- betrachte 1-Hop Nachbarschaft von k
- bestimme größten Winkel $\alpha = \sphericalangle(l, k, m)$
 - falls $\alpha > \alpha_{min}$: k Kandidat für Randknoten
- betrachte Nachbarn q von l und m
 - falls sich q im Winkelbereich $\sphericalangle(l, k, m)$ befindet: k kein Randknoten



Randerkennungsverfahren

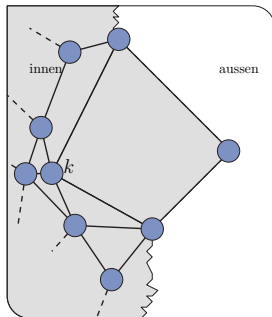
Knotenklassifikation

Beobachtung

- typischerweise große Winkel am Rand
- Vermeidung von Mikrolöchern

Ablauf

- betrachte 1-Hop Nachbarschaft von k
- bestimme größten Winkel $\alpha = \sphericalangle(l, k, m)$
 - falls $\alpha > \alpha_{min}$: k Kandidat für Randknoten
- betrachte Nachbarn q von l und m
 - falls sich q im Winkelbereich $\sphericalangle(l, k, m)$ befindet: k kein Randknoten



Randerkennungsverfahren

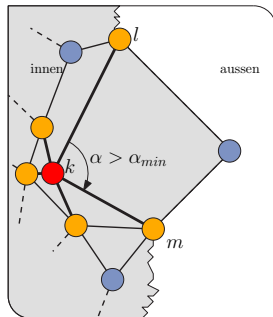
Knotenklassifikation

Beobachtung

- typischerweise große Winkel am Rand
- Vermeidung von Mikrolöchern

Ablauf

- betrachte 1-Hop Nachbarschaft von k
- bestimme größten Winkel $\alpha = \sphericalangle(l, k, m)$
 - falls $\alpha > \alpha_{min}$: k Kandidat für Randknoten
- betrachte Nachbarn q von l und m
 - falls sich q im Winkelbereich $\sphericalangle(l, k, m)$ befindet: k kein Randknoten



Randerkennungsverfahren

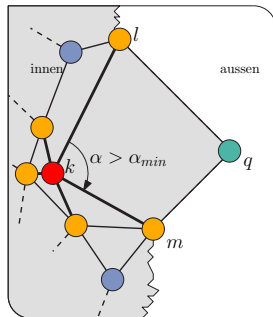
Knotenklassifikation

Beobachtung

- typischerweise große Winkel am Rand
- Vermeidung von Mikrolöchern

Ablauf

- betrachte 1-Hop Nachbarschaft von k
- bestimme größten Winkel $\alpha = \sphericalangle(l, k, m)$
 - falls $\alpha > \alpha_{min}$: k Kandidat für Randknoten
- betrachte Nachbarn q von l und m
 - falls sich q im Winkelbereich $\sphericalangle(l, k, m)$ befindet: k kein Randknoten



Randerkennungsverfahren

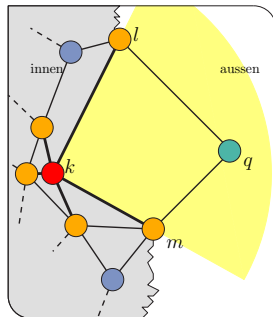
Knotenklassifikation

Beobachtung

- typischerweise große Winkel am Rand
- Vermeidung von Mikrolöchern

Ablauf

- betrachte 1-Hop Nachbarschaft von k
- bestimme größten Winkel $\alpha = \sphericalangle(l, k, m)$
 - falls $\alpha > \alpha_{min}$: k Kandidat für Randknoten
- betrachte Nachbarn q von l und m
 - falls sich q im Winkelbereich $\sphericalangle(l, k, m)$ befindet: k kein Randknoten



Randerkennungsverfahren

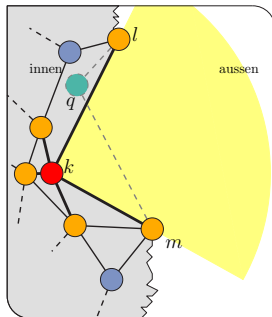
Knotenklassifikation

Beobachtung

- typischerweise große Winkel am Rand
- Vermeidung von Mikrolöchern

Ablauf

- betrachte 1-Hop Nachbarschaft von k
- bestimme größten Winkel $\alpha = \sphericalangle(l, k, m)$
 - falls $\alpha > \alpha_{min}$: k Kandidat für Randknoten
- betrachte Nachbarn q von l und m
 - falls sich q im Winkelbereich $\sphericalangle(l, k, m)$ befindet: k kein Randknoten



Randerkennungsverfahren

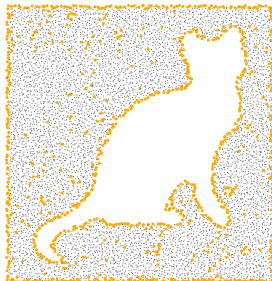
Nachoptimierung

Ziel

- Identifikation von Randstrukturen mit kleiner Ausdehnung
- Entfernung dieses "Rauschens"

Ablauf

- Jeder Randknoten k betrachtet seine r_{min} -Hop Nachbarschaft aus Randknoten
- existiert ein kürzester Weg mit Länge r_{min} der k enthält, bleibt k Randknoten



Randerkennungsverfahren

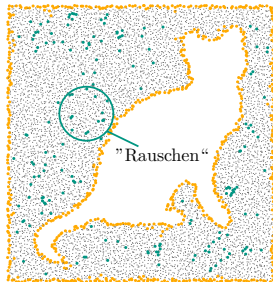
Nachoptimierung

Ziel

- Identifikation von Randstrukturen mit kleiner Ausdehnung
- Entfernung dieses "Rauschens"

Ablauf

- Jeder Randknoten k betrachtet seine r_{min} -Hop Nachbarschaft aus Randknoten
- existiert ein kürzester Weg mit Länge r_{min} der k enthält, bleibt k Randknoten



Randerkennungsverfahren

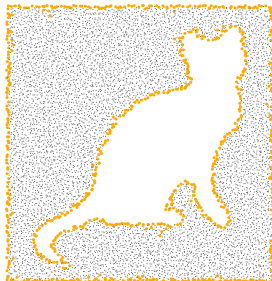
Nachoptimierung

Ziel

- Identifikation von Randstrukturen mit kleiner Ausdehnung
- Entfernung dieses "Rauschens"

Ablauf

- Jeder Randknoten k betrachtet seine r_{min} -Hop Nachbarschaft aus Randknoten
- existiert ein kürzester Weg mit Länge r_{min} der k enthält, bleibt k Randknoten



Randerkennungsverfahren

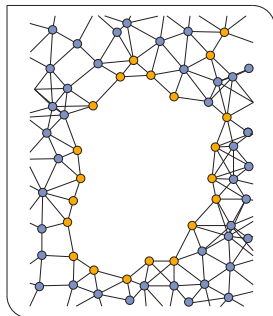
Nachoptimierung

Ziel

- Identifikation von Randstrukturen mit kleiner Ausdehnung
- Entfernung dieses "Rauschens"

Ablauf

- Jeder Randknoten k betrachtet seine r_{min} -Hop Nachbarschaft aus Randknoten
- existiert ein kürzester Weg mit Länge r_{min} der k enthält, bleibt k Randknoten



Randerkennungsverfahren

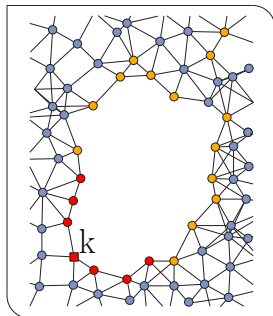
Nachoptimierung

Ziel

- Identifikation von Randstrukturen mit kleiner Ausdehnung
- Entfernung dieses "Rauschens"

Ablauf

- Jeder Randknoten k betrachtet seine r_{min} -Hop Nachbarschaft aus Randknoten
- existiert ein kürzester Weg mit Länge r_{min} der k enthält, bleibt k Randknoten



Randerkennungsverfahren

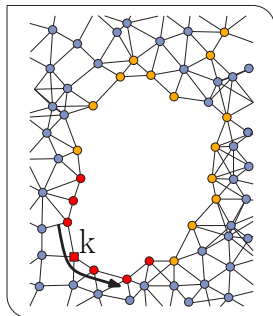
Nachoptimierung

Ziel

- Identifikation von Randstrukturen mit kleiner Ausdehnung
- Entfernung dieses "Rauschens"

Ablauf

- Jeder Randknoten k betrachtet seine r_{min} -Hop Nachbarschaft aus Randknoten
- existiert ein kürzester Weg mit Länge r_{min} der k enthält, bleibt k Randknoten



Randerkennungsverfahren

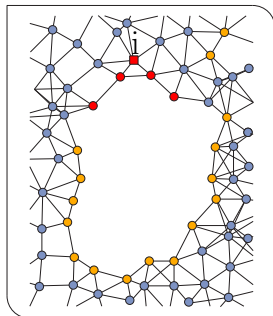
Nachoptimierung

Ziel

- Identifikation von Randstrukturen mit kleiner Ausdehnung
- Entfernung dieses "Rauschens"

Ablauf

- Jeder Randknoten k betrachtet seine r_{min} -Hop Nachbarschaft aus Randknoten
- existiert ein kürzester Weg mit Länge r_{min} der k enthält, bleibt k Randknoten

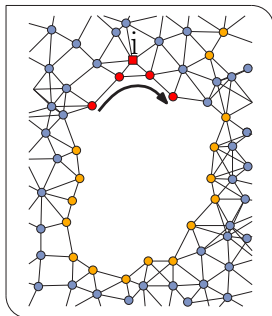


Ziel

- Identifikation von Randstrukturen mit kleiner Ausdehnung
- Entfernung dieses "Rauschens"

Ablauf

- Jeder Randknoten k betrachtet seine r_{min} -Hop Nachbarschaft aus Randknoten
- existiert ein kürzester Weg mit Länge r_{min} der k enthält, bleibt k Randknoten



Randerkennungsverfahren

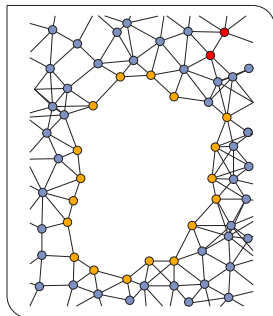
Nachoptimierung

Ziel

- Identifikation von Randstrukturen mit kleiner Ausdehnung
- Entfernung dieses "Rauschens"

Ablauf

- Jeder Randknoten k betrachtet seine r_{min} -Hop Nachbarschaft aus Randknoten
- existiert ein kürzester Weg mit Länge r_{min} der k enthält, bleibt k Randknoten



Randerkennungsverfahren

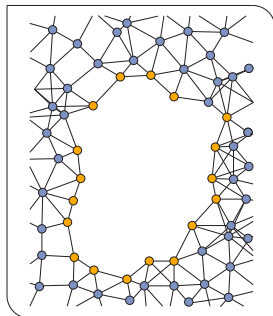
Nachoptimierung

Ziel

- Identifikation von Randstrukturen mit kleiner Ausdehnung
- Entfernung dieses "Rauschens"

Ablauf

- Jeder Randknoten k betrachtet seine r_{min} -Hop Nachbarschaft aus Randknoten
- existiert ein kürzester Weg mit Länge r_{min} der k enthält, bleibt k Randknoten

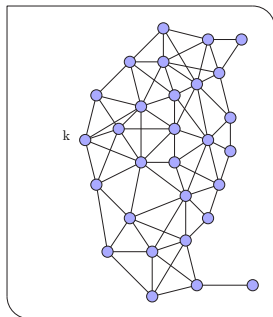


Randerkennungsverfahren

Exemplarischer Ablauf von MDS-BR

Ablauf in jedem Knoten k

- Knotenklassifikation
- Nachoptimierung



Randerkennungsverfahren

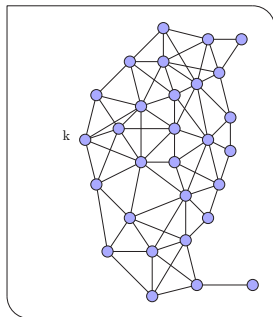
Exemplarischer Ablauf von MDS-BR

Ablauf in jedem Knoten k

- **Knotenklassifikation**
- Nachoptimierung

Knotenklassifikation

- extrahiere 2-Hop Nachbarschaft von k
- bestimme Einbettung mit MDS (verwende Hop-Anzahl als Distanzmaß)
- teste auf Randknoten in Einbettung (1-Hop Nachbarschaft, $\alpha_{min} = 0.5\pi$)



Randerkennungsverfahren

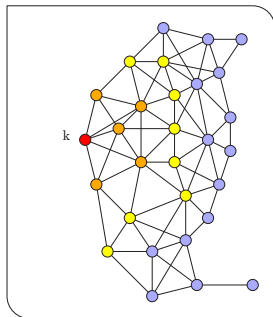
Exemplarischer Ablauf von MDS-BR

Ablauf in jedem Knoten k

- Knotenklassifikation
- Nachoptimierung

Knotenklassifikation

- extrahiere 2-Hop Nachbarschaft von k
- bestimme Einbettung mit MDS (verwende Hop-Anzahl als Distanzmaß)
- teste auf Randknoten in Einbettung (1-Hop Nachbarschaft, $\alpha_{min} = 0.5\pi$)



Randerkennungsverfahren

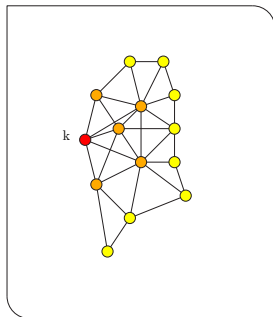
Exemplarischer Ablauf von MDS-BR

Ablauf in jedem Knoten k

- **Knotenklassifikation**
- Nachoptimierung

Knotenklassifikation

- **extrahiere 2-Hop Nachbarschaft von k**
- bestimme Einbettung mit MDS
(verwende Hop-Anzahl als Distanzmaß)
- teste auf Randknoten in Einbettung
(1-Hop Nachbarschaft, $\alpha_{min} = 0.5\pi$)



Randerkennungsverfahren

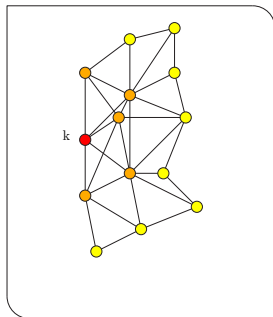
Exemplarischer Ablauf von MDS-BR

Ablauf in jedem Knoten k

- Knotenklassifikation
- Nachoptimierung

Knotenklassifikation

- extrahiere 2-Hop Nachbarschaft von k
- bestimme Einbettung mit MDS (verwende Hop-Anzahl als Distanzmaß)
- teste auf Randknoten in Einbettung (1-Hop Nachbarschaft, $\alpha_{min} = 0.5\pi$)



Randerkennungsverfahren

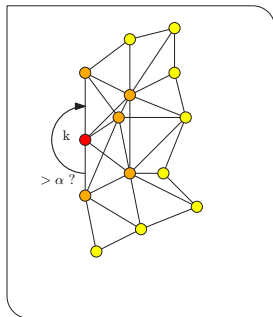
Exemplarischer Ablauf von MDS-BR

Ablauf in jedem Knoten k

- Knotenklassifikation
- Nachoptimierung

Knotenklassifikation

- extrahiere 2-Hop Nachbarschaft von k
- bestimme Einbettung mit MDS (verwende Hop-Anzahl als Distanzmaß)
- teste auf Randknoten in Einbettung (1-Hop Nachbarschaft, $\alpha_{min} = 0.5\pi$)



Randerkennungsverfahren

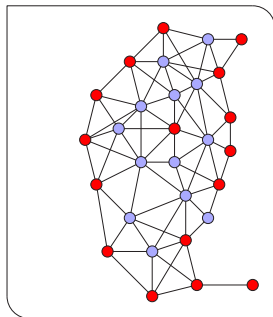
Exemplarischer Ablauf von MDS-BR

Ablauf in jedem Knoten k

- **Knotenklassifikation**
- Nachoptimierung

Knotenklassifikation

- extrahiere 2-Hop Nachbarschaft von k
- bestimme Einbettung mit MDS (verwende Hop-Anzahl als Distanzmaß)
- teste auf Randknoten in Einbettung (1-Hop Nachbarschaft, $\alpha_{min} = 0.5\pi$)



Randerkennungsverfahren

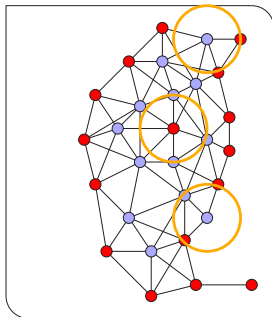
Exemplarischer Ablauf von MDS-BR

Ablauf in jedem Knoten k

- Knotenklassifikation
- Nachoptimierung

Nachoptimierung

- suche nach Randstrukturen mit Ausdehnung kleiner als $r_{min} = 5$
- Manko: fehlende Randknoten können nicht ergänzt werden



Randerkennungsverfahren

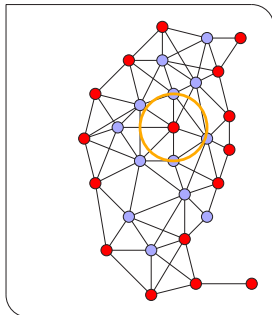
Exemplarischer Ablauf von MDS-BR

Ablauf in jedem Knoten k

- Knotenklassifikation
- Nachoptimierung

Nachoptimierung

- suche nach Randstrukturen mit Ausdehnung kleiner als $r_{min} = 5$
- Manko: fehlende Randknoten können nicht ergänzt werden



Randerkennungsverfahren

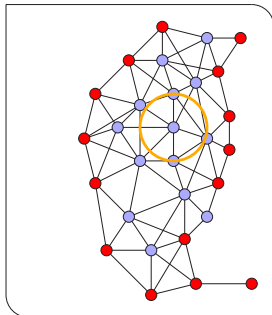
Exemplarischer Ablauf von MDS-BR

Ablauf in jedem Knoten k

- Knotenklassifikation
- Nachoptimierung

Nachoptimierung

- suche nach Randstrukturen mit Ausdehnung kleiner als $r_{min} = 5$
- Manko: fehlende Randknoten können nicht ergänzt werden



Randerkennungsverfahren

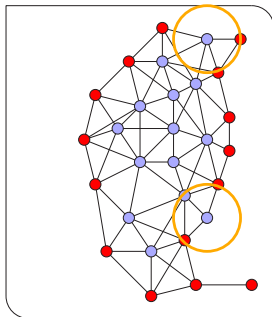
Exemplarischer Ablauf von MDS-BR

Ablauf in jedem Knoten k

- Knotenklassifikation
- Nachoptimierung

Nachoptimierung

- suche nach Randstrukturen mit Ausdehnung kleiner als $r_{min} = 5$
- Manko: fehlende Randknoten können nicht ergänzt werden



Randerkennungsverfahren

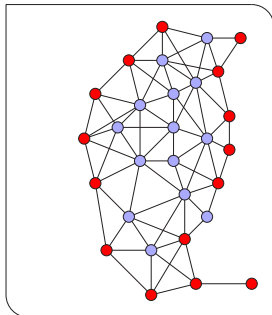
Exemplarischer Ablauf von MDS-BR

Ablauf in jedem Knoten k

- Knotenklassifikation
- Nachoptimierung

Nachoptimierung

- suche nach Randstrukturen mit Ausdehnung kleiner als $r_{min} = 5$
- Manko: fehlende Randknoten können nicht ergänzt werden



Randerkennungsverfahren

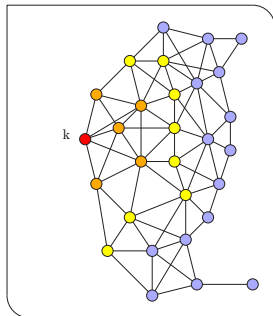
Aufwandsbetrachtung von MDS-BR

Knotenklassifikation

- 2 Nachrichten pro Knoten
- Rechenaufwand kubisch in Größe der 2-Hop Nachbarschaft (dominiert von MDS)

Nachoptimierung

- r_{min} Nachrichten pro Randknoten
- Rechenaufwand kubisch in Größe der r_{min} -Hop Nachbarschaft aus Randknoten



Randerkennungsverfahren

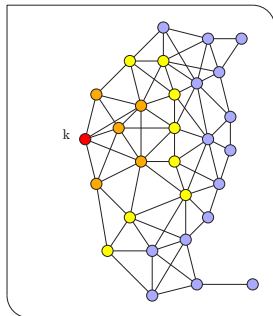
Aufwandsbetrachtung von MDS-BR

Knotenklassifikation

- 2 Nachrichten pro Knoten
- Rechenaufwand kubisch in Größe der 2-Hop Nachbarschaft (dominiert von MDS)

Nachoptimierung

- r_{min} Nachrichten pro Randknoten
- Rechenaufwand kubisch in Größe der r_{min} -Hop Nachbarschaft aus Randknoten



Randerkennungsverfahren

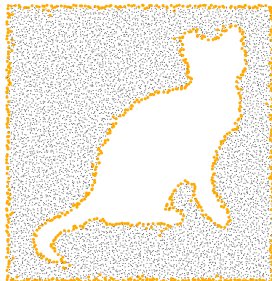
Aufwandsbetrachtung von MDS-BR

Knotenklassifikation

- 2 Nachrichten pro Knoten
- Rechenaufwand kubisch in Größe der 2-Hop Nachbarschaft (dominiert von MDS)

Nachoptimierung

- r_{min} Nachrichten pro Randknoten
- Rechenaufwand kubisch in Größe der r_{min} -Hop Nachbarschaft aus Randknoten



Randerkennungsverfahren

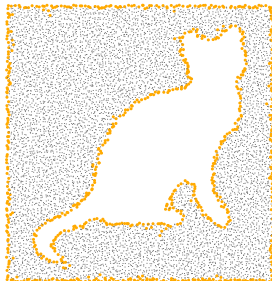
Aufwandsbetrachtung von MDS-BR

Knotenklassifikation

- 2 Nachrichten pro Knoten
- Rechenaufwand kubisch in Größe der 2-Hop Nachbarschaft (dominiert von MDS)

Nachoptimierung

- r_{min} Nachrichten pro Randknoten
- Rechenaufwand kubisch in Größe der r_{min} -Hop Nachbarschaft aus Randknoten

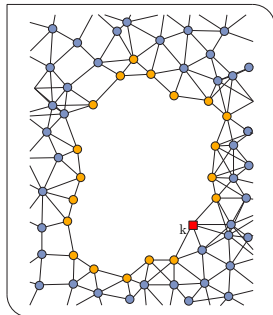


freie Parameter des MDS-BR Verfahrens

- Öffnungswinkel α_{min}
- Ausdehnung r_{min}

Varianten des Verfahrens

- Einbettungsverfahren
(OPT, MDS, MDS3, SSMD5)
- Winkelbedingungen
(direkte Nachbarn, zweite Nachbarn)

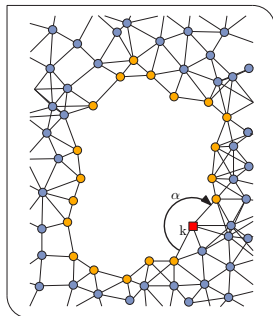


freie Parameter des MDS-BR Verfahrens

- Öffnungswinkel α_{min}
- Ausdehnung r_{min}

Varianten des Verfahrens

- Einbettungsverfahren
(OPT, MDS, MDS3, SSMD5)
- Winkelbedingungen
(direkte Nachbarn, zweite Nachbarn)

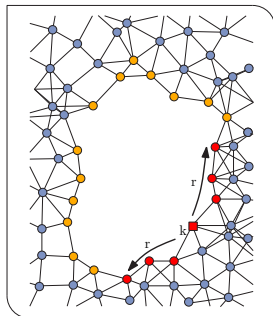


freie Parameter des MDS-BR Verfahrens

- Öffnungswinkel α_{min}
- Ausdehnung r_{min}

Varianten des Verfahrens

- Einbettungsverfahren
(OPT, MDS, MDS3, SSMD)
- Winkelbedingungen
(direkte Nachbarn, zweite Nachbarn)

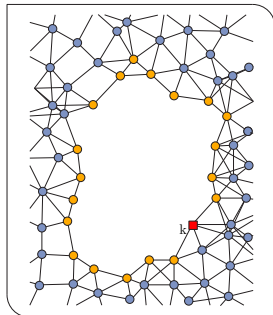


freie Parameter des MDS-BR Verfahrens

- Öffnungswinkel $\alpha_{min} = 0.5\pi$
- Ausdehnung $r_{min} = 5$

Varianten des Verfahrens

- Einbettungsverfahren
(OPT, MDS, MDS3, SSMD5)
- Winkelbedingungen
(direkte Nachbarn, zweite Nachbarn)

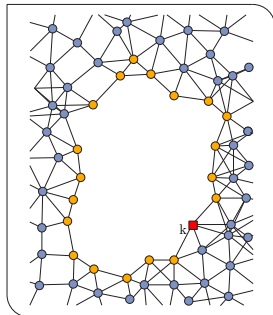


freie Parameter des MDS-BR Verfahrens

- Öffnungswinkel $\alpha_{min} = 0.5\pi$
- Ausdehnung $r_{min} = 5$

Varianten des Verfahrens

- Einbettungsverfahren
(OPT, MDS, MDS3, SSMD5)
- Winkelbedingungen
(direkte Nachbarn, zweite Nachbarn)

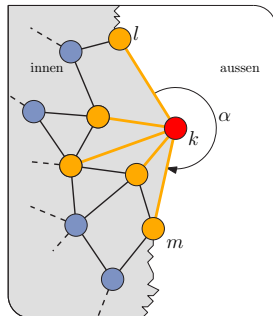


freie Parameter des MDS-BR Verfahrens

- Öffnungswinkel $\alpha_{min} = 0.5\pi$
- Ausdehnung $r_{min} = 5$

Varianten des Verfahrens

- Einbettungsverfahren
(OPT, MDS, MDS3, SSMDS)
- Winkelbedingungen
([direkte Nachbarn](#), zweite Nachbarn)

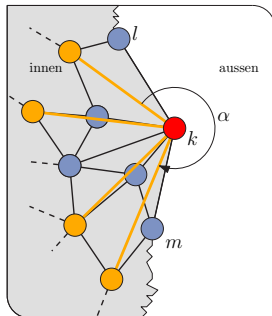


freie Parameter des MDS-BR Verfahrens

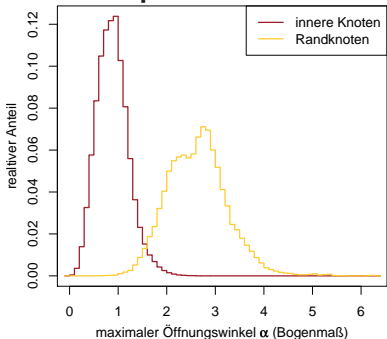
- Öffnungswinkel $\alpha_{min} = 0.5\pi$
- Ausdehnung $r_{min} = 5$

Varianten des Verfahrens

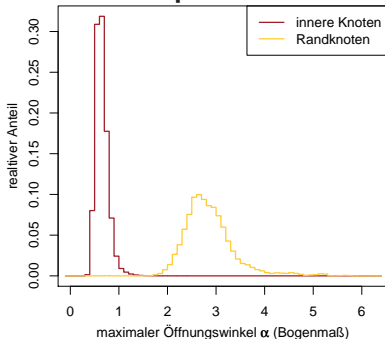
- Einbettungsverfahren
(OPT, MDS, MDS3, SSMDS)
- Winkelbedingungen
(direkte Nachbarn, **zweite Nachbarn**)



1-hop Nachbarschaft



exkl. 2-hop Nachbarschaft



Fehlklassifikationen:

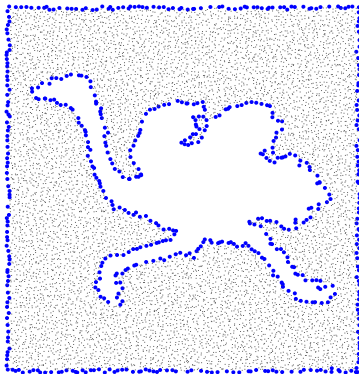
- Randknoten: 2.88%
- innere Knoten: 3.07%

Fehlklassifikationen:

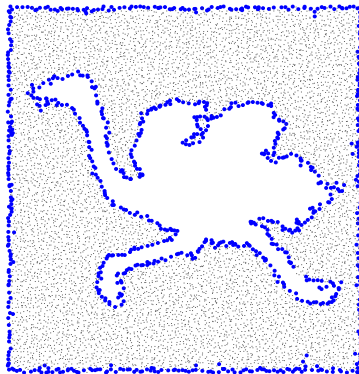
- Randknoten: 0.04%
- innere Knoten: 0.04%

Zusammenfassung

- ausführliche Ergebnisse siehe Vortrag Markus Völker



Truth



MDS-BR

- II -

Routing

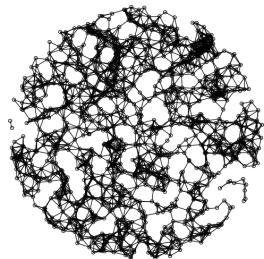
apxCHALT

Problemstellung

- schnelle Bestimmung (fast) optimaler kürzester Wege in einem Verbindungsnetz
- statisches Netz, zentrale Berechnung

Motivation

- theoretische Untersuchungen
 - maximale Kapazität des Netzes
 - Erkennung von "hot spots"
 - Lastverteilung je nach Anfragemuster
- Optimierung der Ressourcenausnutzung z.B. in *data gathering* Anwendungen

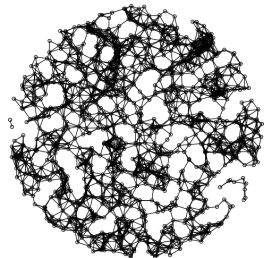


Problemstellung

- schnelle Bestimmung (fast) optimaler kürzester Wege in einem Verbindungsnetz
- statisches Netz, zentrale Berechnung

Motivation

- theoretische Untersuchungen
 - maximale Kapazität des Netzes
 - Erkennung von "hot spots"
 - Lastverteilung je nach Anfragemuster
- Optimierung der Ressourcenausnutzung z.B. in *data gathering* Anwendungen

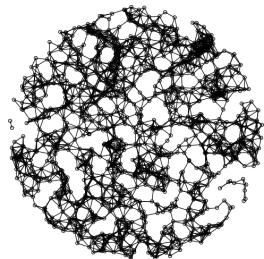


Problemstellung

- schnelle Bestimmung (fast) optimaler kürzester Wege in einem Verbindungsnetz
- **statisches Netz, zentrale Berechnung**

Motivation

- theoretische Untersuchungen
 - maximale Kapazität des Netzes
 - Erkennung von "hot spots"
 - Lastverteilung je nach Anfragemuster
- Optimierung der Ressourcenausnutzung z.B. in *data gathering* Anwendungen

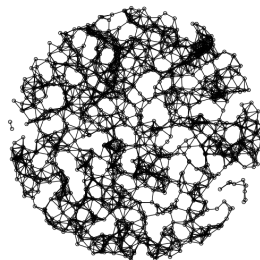


Problemstellung

- schnelle Bestimmung (fast) optimaler kürzester Wege in einem Verbindungsnetz
- statisches Netz, zentrale Berechnung

Motivation

- **theoretische Untersuchungen**
 - maximale Kapazität des Netzes
 - Erkennung von "hot spots"
 - Lastverteilung je nach Anfragemuster
- Optimierung der Ressourcenausnutzung z.B. in *data gathering* Anwendungen

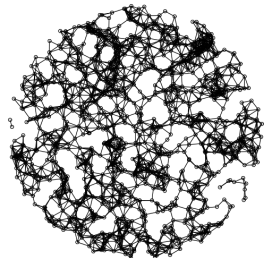


Problemstellung

- schnelle Bestimmung (fast) optimaler kürzester Wege in einem Verbindungsnetz
- statisches Netz, zentrale Berechnung

Motivation

- **theoretische Untersuchungen**
 - maximale Kapazität des Netzes
 - Erkennung von "hot spots"
 - Lastverteilung je nach Anfragemuster
- Optimierung der Ressourcenausnutzung z.B. in *data gathering* Anwendungen

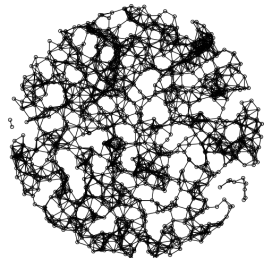


Problemstellung

- schnelle Bestimmung (fast) optimaler kürzester Wege in einem Verbindungsnetz
- statisches Netz, zentrale Berechnung

Motivation

- **theoretische Untersuchungen**
 - maximale Kapazität des Netzes
 - **Erkennung von "hot spots"**
 - Lastverteilung je nach Anfragemuster
- Optimierung der Ressourcenausnutzung z.B. in *data gathering* Anwendungen

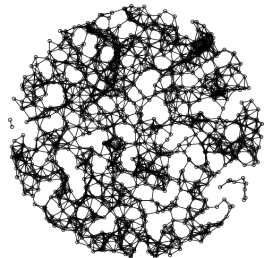


Problemstellung

- schnelle Bestimmung (fast) optimaler kürzester Wege in einem Verbindungsnetz
- statisches Netz, zentrale Berechnung

Motivation

- theoretische Untersuchungen
 - maximale Kapazität des Netzes
 - Erkennung von "hot spots"
 - Lastverteilung je nach Anfragemuster
- Optimierung der Ressourcenausnutzung z.B. in *data gathering* Anwendungen

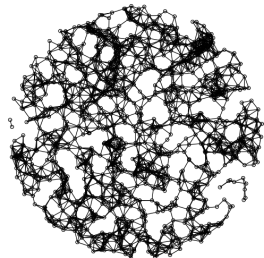


Problemstellung

- schnelle Bestimmung (fast) optimaler kürzester Wege in einem Verbindungsnetz
- statisches Netz, zentrale Berechnung

Motivation

- theoretische Untersuchungen
 - maximale Kapazität des Netzes
 - Erkennung von "hot spots"
 - Lastverteilung je nach Anfragemuster
- Optimierung der Ressourcenausnutzung
z.B. in *data gathering* Anwendungen



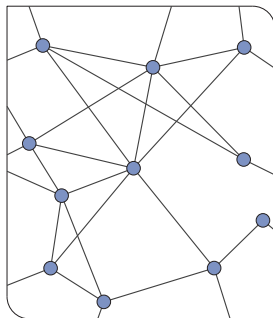
Netzwerkmodell

- Graph $G = (V, E)$ mit Knoten V , Kanten E
- Kostenfunktion $c : E \rightarrow \mathbb{R}_+$

gesucht

- Pfad $\langle s, \dots, t \rangle$ mit minimaler Distanz
 $d(s, t) = d_{opt}(s, t)$

Lösung: Algorithmus von Dijkstra



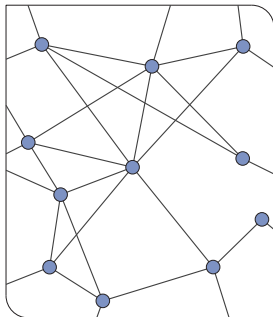
Netzwerkmodell

- Graph $G = (V, E)$ mit Knoten V , Kanten E
- Kostenfunktion $c : E \rightarrow \mathbb{R}_+$

gesucht

- Pfad $\langle s, \dots, t \rangle$ mit minimaler Distanz
 $d(s, t) = d_{opt}(s, t)$

Lösung: Algorithmus von Dijkstra



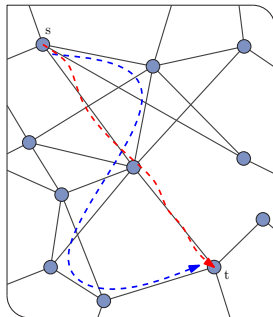
Netzwerkmodell

- Graph $G = (V, E)$ mit Knoten V , Kanten E
- Kostenfunktion $c : E \rightarrow \mathbb{R}_+$

gesucht

- Pfad $\langle s, \dots, t \rangle$ mit minimaler Distanz
 $d(s, t) = d_{opt}(s, t)$

Lösung: Algorithmus von Dijkstra



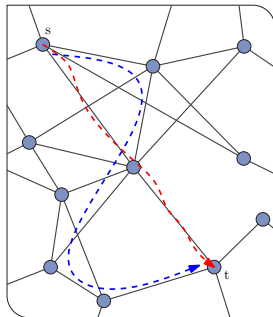
Netzwerkmodell

- Graph $G = (V, E)$ mit Knoten V , Kanten E
- Kostenfunktion $c : E \rightarrow \mathbb{R}_+$

gesucht

- Pfad $\langle s, \dots, t \rangle$ mit minimaler Distanz
 $d(s, t) = d_{opt}(s, t)$

Lösung: Algorithmus von Dijkstra



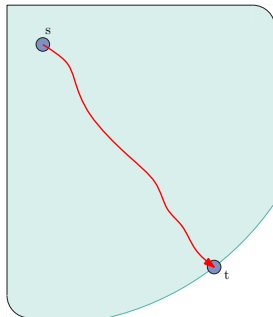
Netzwerkmodell

- Graph $G = (V, E)$ mit Knoten V , Kanten E
- Kostenfunktion $c : E \rightarrow \mathbb{R}_+$

gesucht

- Pfad $\langle s, \dots, t \rangle$ mit minimaler Distanz
 $d(s, t) = d_{opt}(s, t)$

Lösung: Algorithmus von Dijkstra — langsam!

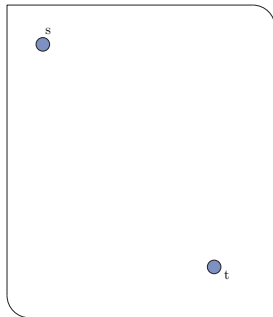


Beschleunigungsverfahren

- bidirektional (bidr. Dijkstra)
- zielgerichtet (A^* , ALT, ArcFlags)
- hierarchisch (CH, Reach)
- Kombinationen (CALT, CHASE, Real)

Vorverarbeitungsschritt

- Aggregation von Hilfsinformationen
- Verlagerung von Zeit- in Speicheraufwand
- gut bei vielen Anfragen auf gleichem Graph

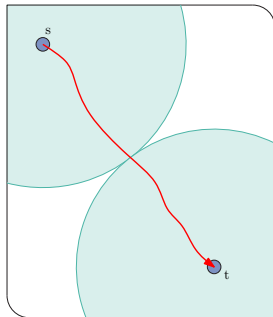


Beschleunigungsverfahren

- bidirektional (bidr. Dijkstra)
- zielgerichtet (A^* , ALT, ArcFlags)
- hierarchisch (CH, Reach)
- Kombinationen (CALT, CHASE, Real)

Vorverarbeitungsschritt

- Aggregation von Hilfsinformationen
- Verlagerung von Zeit- in Speicheraufwand
- gut bei vielen Anfragen auf gleichem Graph

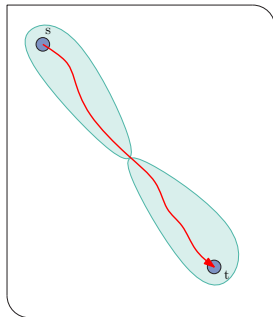


Beschleunigungsverfahren

- bidirektional (bidr. Dijkstra)
- zielgerichtet (A^* , ALT, ArcFlags)
- hierarchisch (CH, Reach)
- Kombinationen (CALT, CHASE, Real)

Vorverarbeitungsschritt

- Aggregation von Hilfsinformationen
- Verlagerung von Zeit- in Speicheraufwand
- gut bei vielen Anfragen auf gleichem Graph

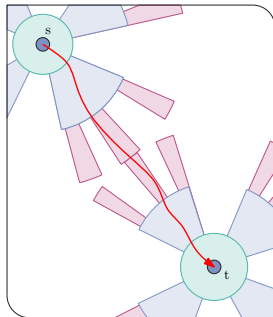


Beschleunigungsverfahren

- bidirektional (bidr. Dijkstra)
- zielgerichtet (A^* , ALT, ArcFlags)
- hierarchisch (CH, Reach)
- Kombinationen (CALT, CHASE, Real)

Vorverarbeitungsschritt

- Aggregation von Hilfsinformationen
- Verlagerung von Zeit- in Speicheraufwand
- gut bei vielen Anfragen auf gleichem Graph

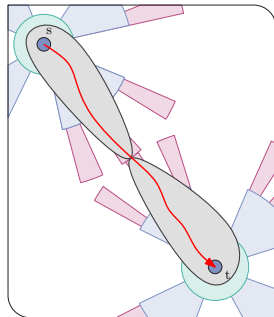


Beschleunigungsverfahren

- bidirektional (bidr. Dijkstra)
- zielgerichtet (A^* , ALT, ArcFlags)
- hierarchisch (CH, Reach)
- Kombinationen (CALT, CHASE, Real)

Vorverarbeitungsschritt

- Aggregation von Hilfsinformationen
- Verlagerung von Zeit- in Speicheraufwand
- gut bei vielen Anfragen auf gleichem Graph

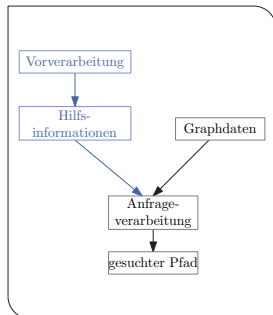


Beschleunigungsverfahren

- bidirektional (bidr. Dijkstra)
- zielgerichtet (A*, ALT, ArcFlags)
- hierarchisch (CH, Reach)
- Kombinationen (CALT, CHASE, Real)

Vorverarbeitungsschritt

- Aggregation von Hilfsinformationen
- Verlagerung von Zeit- in Speicheraufwand
- gut bei vielen Anfragen auf gleichem Graph

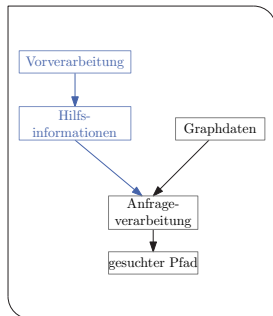


Beschleunigungsverfahren

- bidirektional (bidr. Dijkstra)
- zielgerichtet (A*, ALT, ArcFlags)
- hierarchisch (CH, Reach)
- Kombinationen (CALT, CHASE, Real)

Vorverarbeitungsschritt

- Aggregation von Hilfsinformationen
- Verlagerung von Zeit- in Speicheraufwand
- gut bei vielen Anfragen auf gleichem Graph

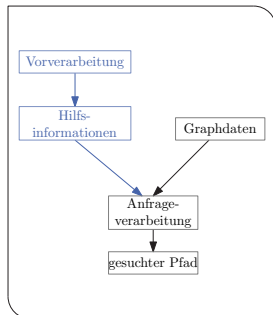


Beschleunigungsverfahren

- bidirektional (bidr. Dijkstra)
- zielgerichtet (A*, ALT, ArcFlags)
- hierarchisch (CH, Reach)
- Kombinationen (CALT, CHASE, Real)

Vorverarbeitungsschritt

- Aggregation von Hilfsinformationen
- Verlagerung von Zeit- in Speicheraufwand
- gut bei vielen Anfragen auf gleichem Graph



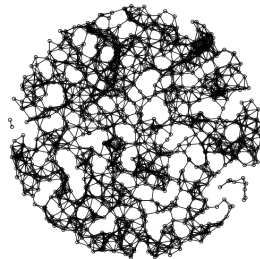
unterschiedliche Kompromisse zwischen Vorverarbeitungs-
dauer, Speicheraufwand und Anfragedauer

Routingalgorithmus

approximierte Contraction Hierarchies mit ALT (apxCHALT)

Grundlage:

- Contraction Hierarchies (CH)
- Probleme:
 - ungeeignet für dichtere Graphen
 - lange Vorberechnung, hoher Platzbedarf, langsame Anfragen



Verbesserungen durch

- inexakte Pfade mit Approximationsgarantie
($d(s, t) \leq (1 + \varepsilon) \cdot d_{opt}(s, t)$)
- Kombination mit (weighted) ALT

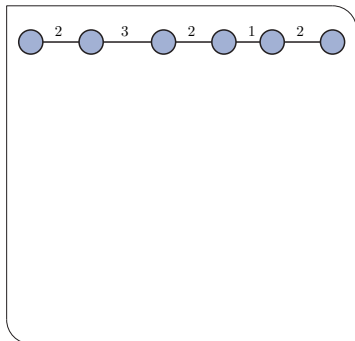
⇒ bisher bestes Verfahren für Sensornetze

Vorverarbeitung

- **ordne** Knoten nach "Wichtigkeit"
- erzeuge $|V|$ -Level Hierarchie durch iteratives **Kontrahieren** der Knoten
- erhalte kürzeste Wege in jedem Level durch Hinzufügen von **Shortcuts**

Suche

- suche bidirektional von Start s und Ziel t **aufwärts** in der Hierarchie (modifizierter Dijkstras Algorithmus)

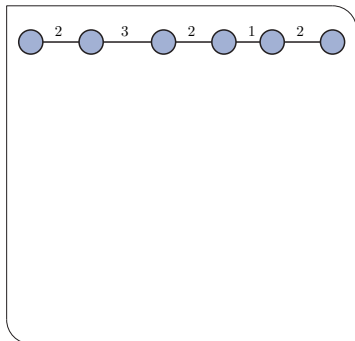


Vorverarbeitung

- **ordne** Knoten nach "Wichtigkeit"
- erzeuge $|V|$ -Level Hierarchie durch iteratives **Kontrahieren** der Knoten
- erhalte kürzeste Wege in jedem Level durch Hinzufügen von **Shortcuts**

Suche

- suche bidirektional von Start s und Ziel t **aufwärts** in der Hierarchie (modifizierter Dijkstras Algorithmus)

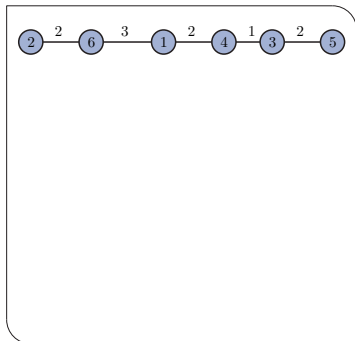


Vorverarbeitung

- **ordne** Knoten nach "Wichtigkeit"
- erzeuge $|V|$ -Level Hierarchie durch iteratives **Kontrahieren** der Knoten
- erhalte kürzeste Wege in jedem Level durch Hinzufügen von **Shortcuts**

Suche

- suche bidirektional von Start s und Ziel t **aufwärts** in der Hierarchie (modifizierter Dijkstras Algorithmus)

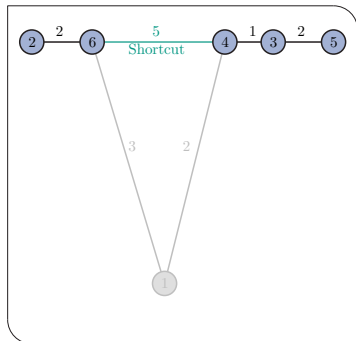


Vorverarbeitung

- **ordne** Knoten nach "Wichtigkeit"
- erzeuge $|V|$ -Level Hierarchie durch iteratives **Kontrahieren** der Knoten
- erhalte kürzeste Wege in jedem Level durch Hinzufügen von **Shortcuts**

Suche

- suche bidirektional von Start s und Ziel t **aufwärts** in der Hierarchie (modifizierter Dijkstras Algorithmus)

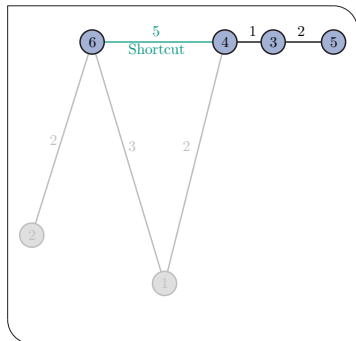


Vorverarbeitung

- **ordne** Knoten nach "Wichtigkeit"
- erzeuge $|V|$ -Level Hierarchie durch iteratives **Kontrahieren** der Knoten
- erhalte kürzeste Wege in jedem Level durch Hinzufügen von **Shortcuts**

Suche

- suche bidirektional von Start s und Ziel t **aufwärts** in der Hierarchie (modifizierter Dijkstras Algorithmus)

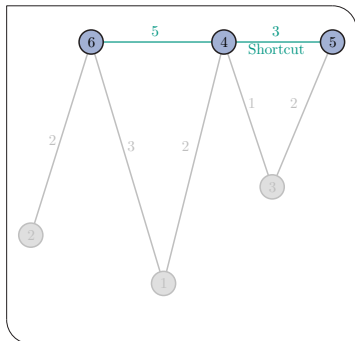


Vorverarbeitung

- **ordne** Knoten nach "Wichtigkeit"
- erzeuge $|V|$ -Level Hierarchie durch iteratives **Kontrahieren** der Knoten
- erhalte kürzeste Wege in jedem Level durch Hinzufügen von **Shortcuts**

Suche

- suche bidirektional von Start s und Ziel t **aufwärts** in der Hierarchie (modifizierter Dijkstras Algorithmus)

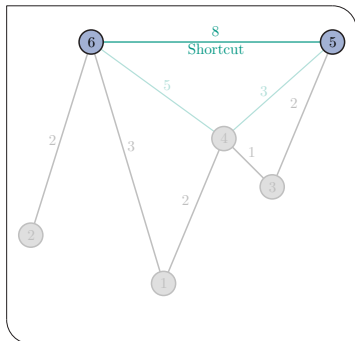


Vorverarbeitung

- **ordne** Knoten nach "Wichtigkeit"
- erzeuge $|V|$ -Level Hierarchie durch iteratives **Kontrahieren** der Knoten
- erhalte kürzeste Wege in jedem Level durch Hinzufügen von **Shortcuts**

Suche

- suche bidirektional von Start s und Ziel t **aufwärts** in der Hierarchie (modifizierter Dijkstras Algorithmus)

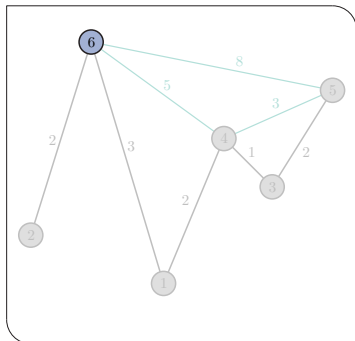


Vorverarbeitung

- **ordne** Knoten nach "Wichtigkeit"
- erzeuge $|V|$ -Level Hierarchie durch iteratives **Kontrahieren** der Knoten
- erhalte kürzeste Wege in jedem Level durch Hinzufügen von **Shortcuts**

Suche

- suche bidirektional von Start s und Ziel t **aufwärts** in der Hierarchie (modifizierter Dijkstras Algorithmus)



Contraction Hierarchies

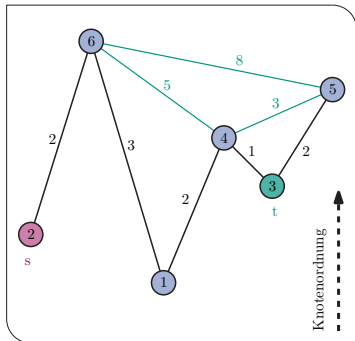
Überblick

Vorverarbeitung

- **ordne** Knoten nach "Wichtigkeit"
- erzeuge $|V|$ -Level Hierarchie durch iteratives **Kontrahieren** der Knoten
- erhalte kürzeste Wege in jedem Level durch Hinzufügen von **Shortcuts**

Suche

- suche bidirektional von Start s und Ziel t **aufwärts** in der Hierarchie (modifizierter Dijkstras Algorithmus)

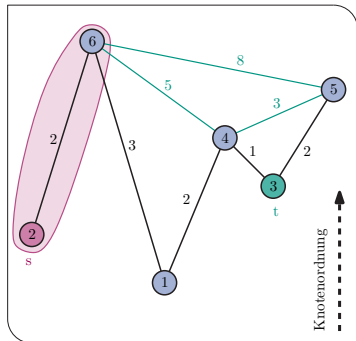


Vorverarbeitung

- **ordne** Knoten nach "Wichtigkeit"
- erzeuge $|V|$ -Level Hierarchie durch iteratives **Kontrahieren** der Knoten
- erhalte kürzeste Wege in jedem Level durch Hinzufügen von **Shortcuts**

Suche

- suche bidirektional von Start s und Ziel t **aufwärts** in der Hierarchie (modifizierter Dijkstras Algorithmus)

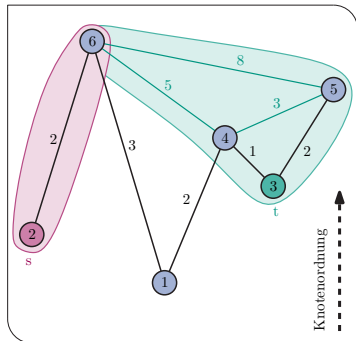


Vorverarbeitung

- **ordne** Knoten nach "Wichtigkeit"
- erzeuge $|V|$ -Level Hierarchie durch iteratives **Kontrahieren** der Knoten
- erhalte kürzeste Wege in jedem Level durch Hinzufügen von **Shortcuts**

Suche

- suche bidirektional von Start s und Ziel t **aufwärts** in der Hierarchie (modifizierter Dijkstras Algorithmus)



Contraction Hierarchies

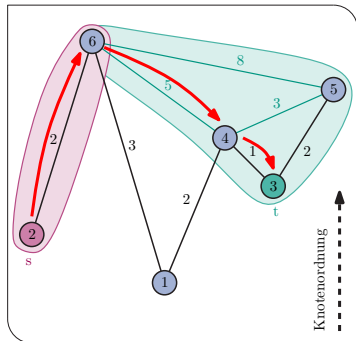
Überblick

Vorverarbeitung

- **ordne** Knoten nach "Wichtigkeit"
- erzeuge $|V|$ -Level Hierarchie durch iteratives **Kontrahieren** der Knoten
- erhalte kürzeste Wege in jedem Level durch Hinzufügen von **Shortcuts**

Suche

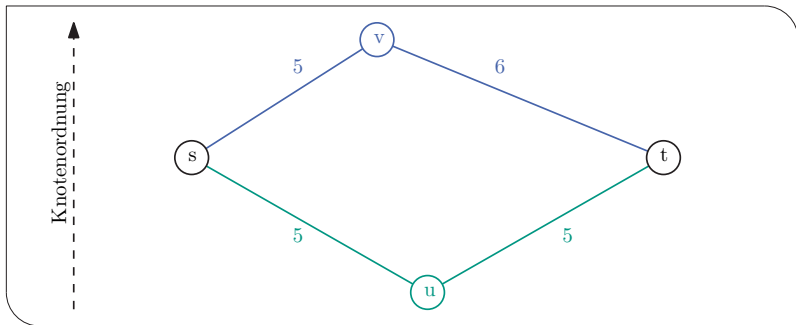
- suche bidirektional von Start s und Ziel t **aufwärts** in der Hierarchie (modifizierter Dijkstras Algorithmus)



approximierte Contraction Hierarchies

Grundidee

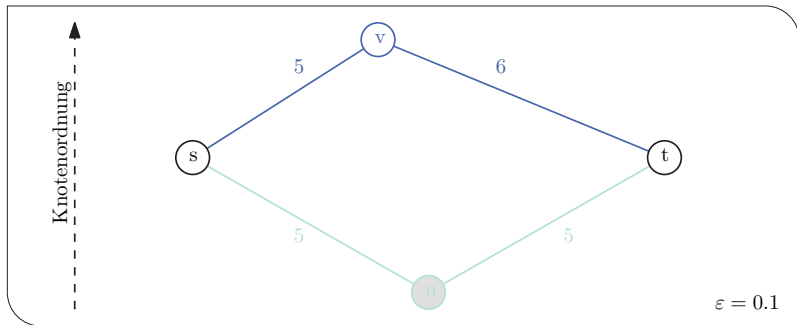
- erzeuge kein *Shortcut*, falls ein Pfad (*Umweg*) existiert, der maximal Faktor $(1 + \varepsilon)$ länger ist, als der entfernte
- Problem: naive Implementierung führt zu wachsendem Fehler



approximierte Contraction Hierarchies

Grundidee

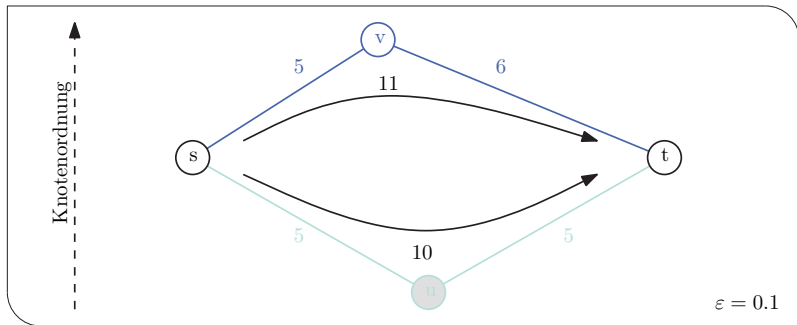
- erzeuge kein *Shortcut*, falls ein Pfad (*Umweg*) existiert, der maximal Faktor $(1 + \varepsilon)$ länger ist, als der entfernte
- Problem: naive Implementierung führt zu wachsendem Fehler



approximierte Contraction Hierarchies

Grundidee

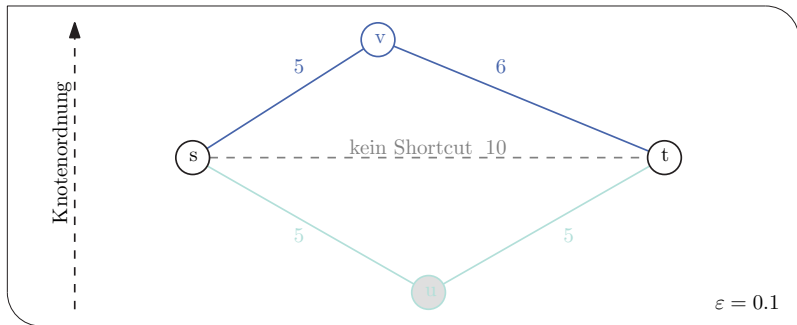
- erzeuge kein *Shortcut*, falls ein Pfad (*Umweg*) existiert, der maximal Faktor $(1 + \varepsilon)$ länger ist, als der entfernte
- Problem: naive Implementierung führt zu wachsendem Fehler



approximierte Contraction Hierarchies

Grundidee

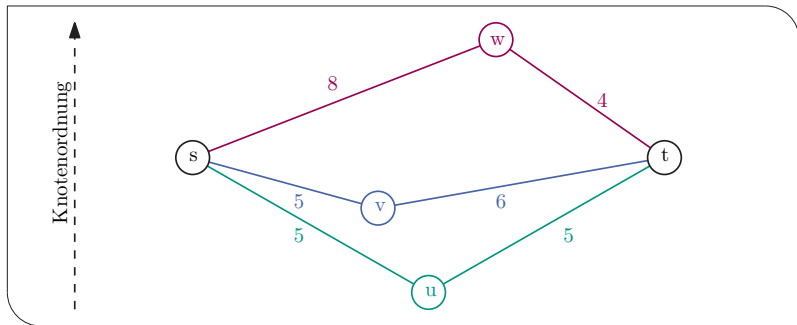
- erzeuge kein *Shortcut*, falls ein Pfad (*Umweg*) existiert, der maximal Faktor $(1 + \varepsilon)$ länger ist, als der entfernte
- Problem: naive Implementierung führt zu wachsendem Fehler



approximierte Contraction Hierarchies

Grundidee

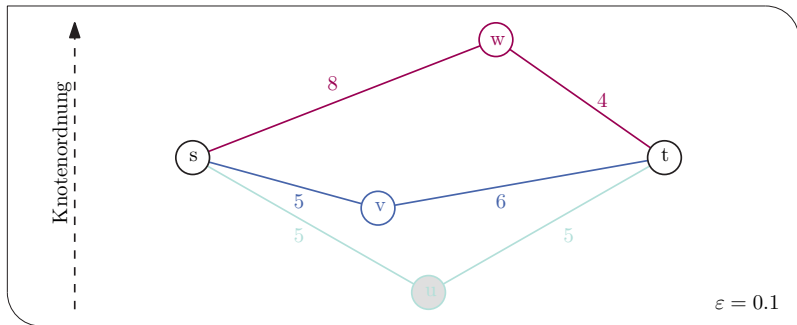
- erzeuge kein *Shortcut*, falls ein Pfad (*Umweg*) existiert, der maximal Faktor $(1 + \varepsilon)$ länger ist, als der entfernte
- **Problem:** naive Implementierung führt zu wachsendem Fehler



approximierte Contraction Hierarchies

Grundidee

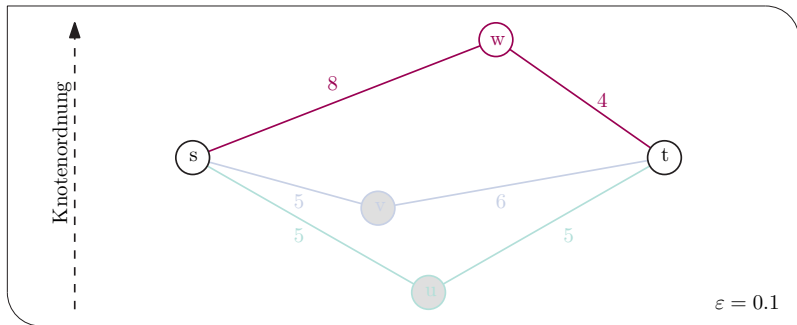
- erzeuge kein *Shortcut*, falls ein Pfad (*Umweg*) existiert, der maximal Faktor $(1 + \varepsilon)$ länger ist, als der entfernte
- **Problem:** naive Implementierung führt zu wachsendem Fehler



approximierte Contraction Hierarchies

Grundidee

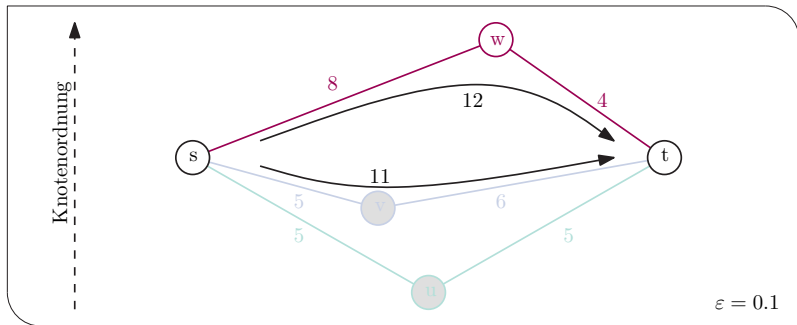
- erzeuge kein *Shortcut*, falls ein Pfad (*Umweg*) existiert, der maximal Faktor $(1 + \varepsilon)$ länger ist, als der entfernte
- **Problem:** naive Implementierung führt zu wachsendem Fehler



approximierte Contraction Hierarchies

Grundidee

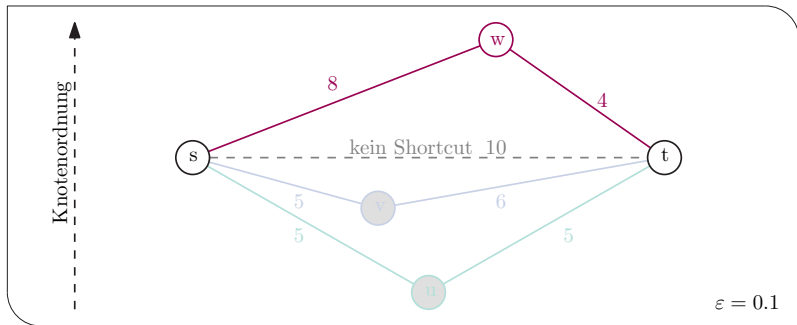
- erzeuge kein *Shortcut*, falls ein Pfad (*Umweg*) existiert, der maximal Faktor $(1 + \varepsilon)$ länger ist, als der entfernte
- **Problem: naive Implementierung führt zu wachsendem Fehler**



approximierte Contraction Hierarchies

Grundidee

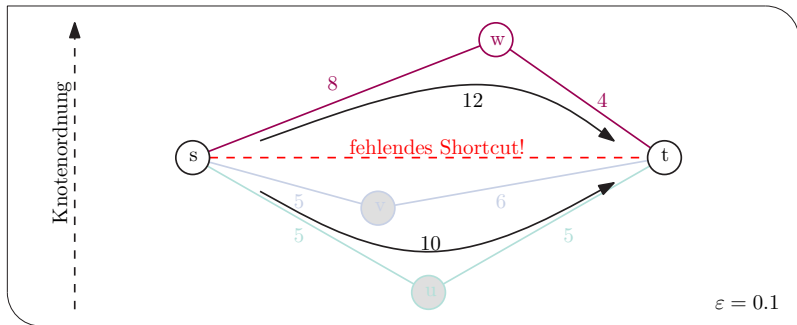
- erzeuge kein *Shortcut*, falls ein Pfad (*Umweg*) existiert, der maximal Faktor $(1 + \varepsilon)$ länger ist, als der entfernte
- **Problem:** naive Implementierung führt zu wachsendem Fehler



approximierte Contraction Hierarchies

Grundidee

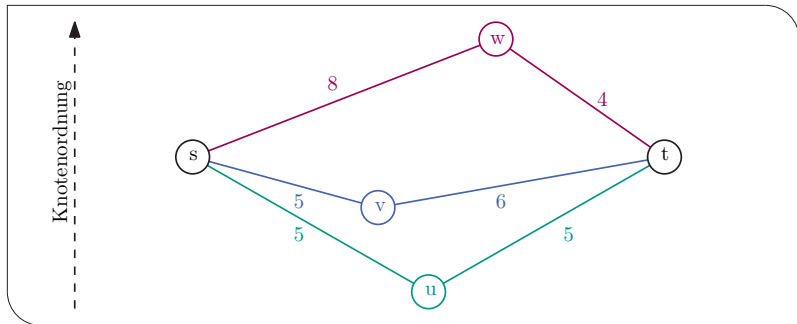
- erzeuge kein *Shortcut*, falls ein Pfad (*Umweg*) existiert, der maximal Faktor $(1 + \varepsilon)$ länger ist, als der entfernte
- **Problem: naive Implementierung führt zu wachsendem Fehler**



approximierte Contraction Hierarchies

Details

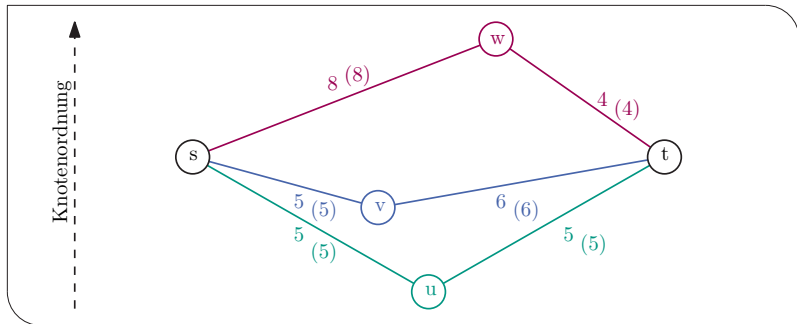
- speichere zusätzliches Gewicht \tilde{c} (zu Beginn: $\tilde{c} = c$)
- erzeuge *Shortcut* falls $c(\text{Umweg}) > (1 + \varepsilon)\tilde{c}(\text{Shortcut})$
- sonst, ändere $\tilde{c}(x, y) = \min \left\{ \tilde{c}(x, y), \tilde{c}(\text{Shortcut}) \frac{c(x, y)}{c(\text{Umweg})} \right\}$ auf allen Kanten (x, y) des *Umwegs*, der den *Shortcut* verhinderte.



approximierte Contraction Hierarchies

Details

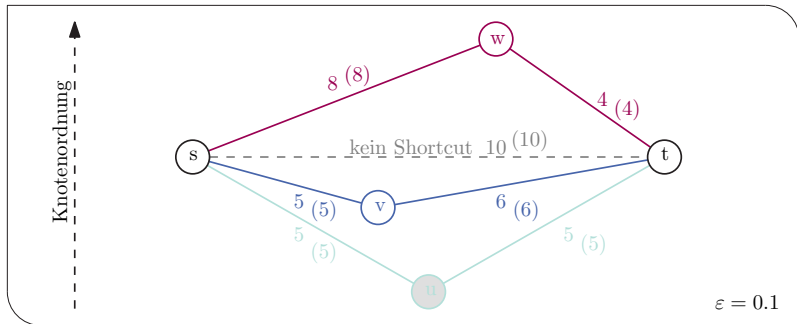
- speichere zusätzliches Gewicht \tilde{c} (zu Beginn: $\tilde{c} = c$)
- erzeuge *Shortcut* falls $c(\text{Umweg}) > (1 + \varepsilon)\tilde{c}(\text{Shortcut})$
- sonst, ändere $\tilde{c}(x, y) = \min \left\{ \tilde{c}(x, y), \tilde{c}(\text{Shortcut}) \frac{c(x, y)}{c(\text{Umweg})} \right\}$ auf allen Kanten (x, y) des *Umwegs*, der den *Shortcut* verhinderte.



approximierte Contraction Hierarchies

Details

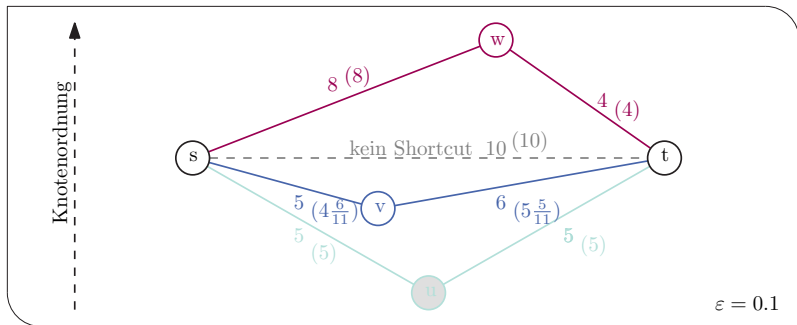
- speichere zusätzliches Gewicht \tilde{c} (zu Beginn: $\tilde{c} = c$)
- erzeuge *Shortcut* falls $c(\text{Umweg}) > (1 + \epsilon)\tilde{c}(\text{Shortcut})$
- sonst, ändere $\tilde{c}(x, y) = \min \left\{ \tilde{c}(x, y), \tilde{c}(\text{Shortcut}) \frac{c(x, y)}{c(\text{Umweg})} \right\}$ auf allen Kanten (x, y) des *Umwegs*, der den *Shortcut* verhinderte.



approximierte Contraction Hierarchies

Details

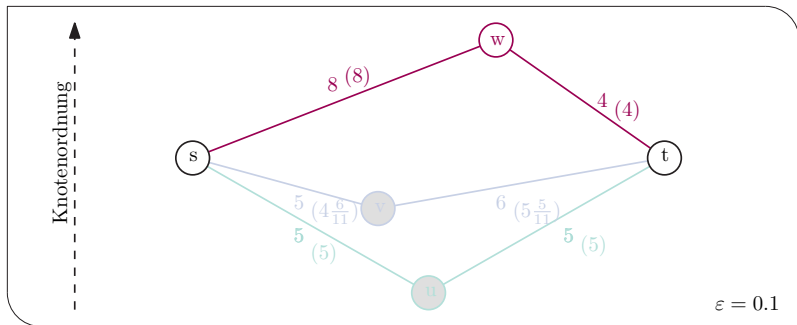
- speichere zusätzliches Gewicht \tilde{c} (zu Beginn: $\tilde{c} = c$)
- erzeuge *Shortcut* falls $c(\text{Umweg}) > (1 + \varepsilon)\tilde{c}(\text{Shortcut})$
- sonst, ändere $\tilde{c}(x, y) = \min \left\{ \tilde{c}(x, y), \tilde{c}(\text{Shortcut}) \frac{c(x, y)}{c(\text{Umweg})} \right\}$ auf allen Kanten (x, y) des *Umwegs*, der den *Shortcut* verhinderte.



approximierte Contraction Hierarchies

Details

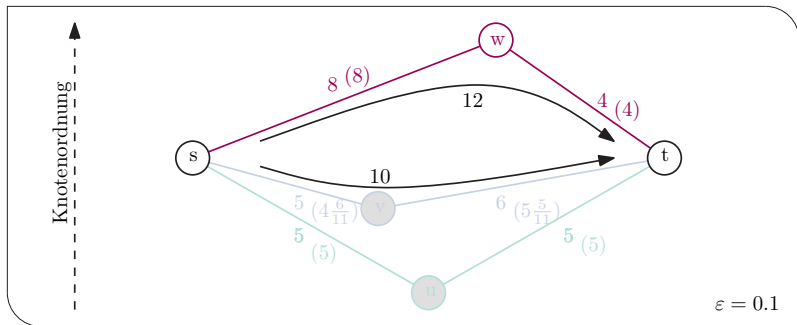
- speichere zusätzliches Gewicht \tilde{c} (zu Beginn: $\tilde{c} = c$)
- erzeuge *Shortcut* falls $c(\text{Umweg}) > (1 + \varepsilon)\tilde{c}(\text{Shortcut})$
- sonst, ändere $\tilde{c}(x, y) = \min \left\{ \tilde{c}(x, y), \tilde{c}(\text{Shortcut}) \frac{c(x, y)}{c(\text{Umweg})} \right\}$ auf allen Kanten (x, y) des *Umwegs*, der den *Shortcut* verhinderte.



approximierte Contraction Hierarchies

Details

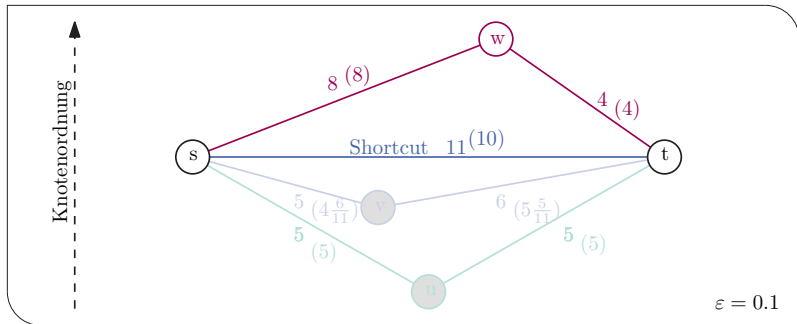
- speichere zusätzliches Gewicht \tilde{c} (zu Beginn: $\tilde{c} = c$)
- erzeuge *Shortcut* falls $c(\text{Umweg}) > (1 + \epsilon)\tilde{c}(\text{Shortcut})$
- sonst, ändere $\tilde{c}(x, y) = \min \left\{ \tilde{c}(x, y), \tilde{c}(\text{Shortcut}) \frac{c(x, y)}{c(\text{Umweg})} \right\}$ auf allen Kanten (x, y) des *Umwegs*, der den *Shortcut* verhinderte.



approximierte Contraction Hierarchies

Details

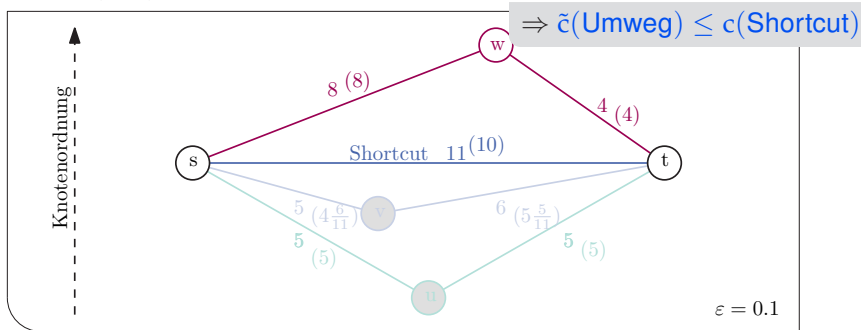
- speichere zusätzliches Gewicht \tilde{c} (zu Beginn: $\tilde{c} = c$)
- erzeuge *Shortcut* falls $c(\text{Umweg}) > (1 + \epsilon)\tilde{c}(\text{Shortcut})$
- sonst, ändere $\tilde{c}(x, y) = \min \left\{ \tilde{c}(x, y), \tilde{c}(\text{Shortcut}) \frac{c(x, y)}{c(\text{Umweg})} \right\}$ auf allen Kanten (x, y) des *Umwegs*, der den *Shortcut* verhinderte.



approximierte Contraction Hierarchies

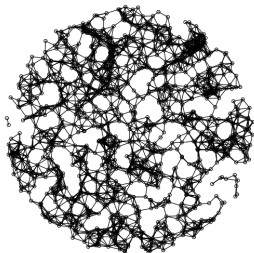
Details

- speichere zusätzliches Gewicht \tilde{c} (zu Beginn: $\tilde{c} = c$)
- erzeuge *Shortcut* falls $c(\text{Umweg}) > (1 + \varepsilon)\tilde{c}(\text{Shortcut})$
- sonst, ändere $\tilde{c}(x, y) = \min \left\{ \tilde{c}(x, y), \tilde{c}(\text{Shortcut}) \frac{c(x, y)}{c(\text{Umweg})} \right\}$ auf allen Kanten (x, y) des *Umwegs*, der den *Shortcut* verhinderte.

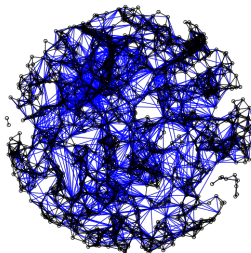


Visualisierung

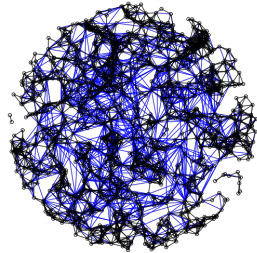
- approximierte CH brauchen weniger Shortcuts



Sensornetz



CH



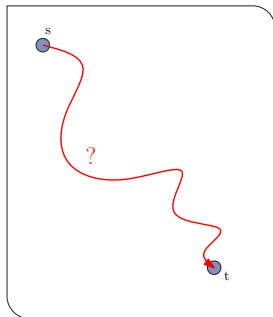
apxCH-10%

Warum ALT?

- bester zielgerichteter Ansatz für diese Art von Graphen (Sensornetze)
- trivial erweiterbar zu approx. Verfahren (*weighted ALT*)

Ablauf

- zweistufiges Suchverfahren
 - Zielrichtung auf **obersten 5% der Hierarchie**
- ⇒ wenig zusätzlicher Speicherbedarf, dennoch große Beschleunigung

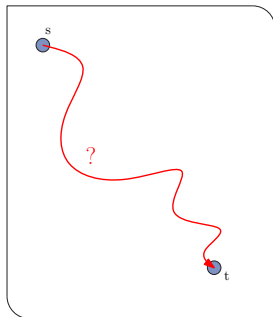


Warum ALT?

- bester zielgerichteter Ansatz für diese Art von Graphen (Sensornetze)
- trivial erweiterbar zu approx. Verfahren (*weighted ALT*)

Ablauf

- zweistufiges Suchverfahren
 - Zielrichtung auf **obersten 5% der Hierarchie**
- ⇒ wenig zusätzlicher Speicherbedarf, dennoch große Beschleunigung



Kombination mit ALT

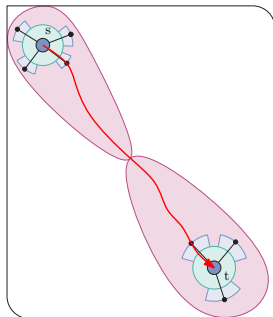
Überblick

Warum ALT?

- bester zielgerichteter Ansatz für diese Art von Graphen (Sensornetze)
- trivial erweiterbar zu approx. Verfahren (*weighted ALT*)

Ablauf

- zweistufiges Suchverfahren
 - Zielrichtung auf **obersten 5% der Hierarchie**
- ⇒ wenig zusätzlicher Speicherbedarf, dennoch große Beschleunigung



Sensornetzwerk, 1 000 000 Knoten, durchschnittlicher Knotengrad 10

| | Vorbereitung | | Suchanfrage | | |
|--------------------|--------------|-------|-------------|-------|--------|
| | [s] | [B/n] | #besucht | [ms] | Fehler |
| bidir. Dijkstra | 0 | 0 | 326 597 | 127.1 | - |
| bidir. ALT-a64 | 194 | 512 | 3 173 | 2.8 | - |
| unidir. A* | 0 | 16 | 57 385 | 36.6 | - |
| unidir. WA*-10% | 0 | 16 | 1 234 | 1.0 | 1.25% |
| unidir. WA*-21% | 0 | 16 | 724 | 0.7 | 2.87% |
| CH | 1 887 | 0 | 2 969 | 4.0 | - |
| apxCH-1% | 993 | -4 | 2 742 | 2.7 | 0.16% |
| apxCH-10% | 474 | -18 | 2 584 | 1.9 | 2.17% |
| apxCHALT-10% | 489 | 7 | 215 | 0.3 | 2.16% |
| apxCHALT-10% W-10% | 489 | 7 | 102 | 0.2 | 3.56% |

Sensornetzwerk, 1 000 000 Knoten, durchschnittlicher Knotengrad 10

| | Vorbereitung | | Suchanfrage | | |
|--------------------|--------------|-------|-------------|-------|--------|
| | [s] | [B/n] | #besucht | [ms] | Fehler |
| bidir. Dijkstra | 0 | 0 | 326 597 | 127.1 | - |
| bidir. ALT-a64 | 194 | 512 | 3 173 | 2.8 | - |
| unidir. A* | 0 | 16 | 57 385 | 36.6 | - |
| unidir. WA*-10% | 0 | 16 | 1 234 | 1.0 | 1.25% |
| unidir. WA*-21% | 0 | 16 | 724 | 0.7 | 2.87% |
| CH | 1 887 | 0 | 2 969 | 4.0 | - |
| apxCH-1% | 993 | -4 | 2 742 | 2.7 | 0.16% |
| apxCH-10% | 474 | -18 | 2 584 | 1.9 | 2.17% |
| apxCHALT-10% | 489 | 7 | 215 | 0.3 | 2.16% |
| apxCHALT-10% W-10% | 489 | 7 | 102 | 0.2 | 3.56% |

Sensornetzwerk, 1 000 000 Knoten, durchschnittlicher Knotengrad 10

| | Vorbereitung | | Suchanfrage | | |
|--------------------|--------------|-------|-------------|-------|--------|
| | [s] | [B/n] | #besucht | [ms] | Fehler |
| bidir. Dijkstra | 0 | 0 | 326 597 | 127.1 | - |
| bidir. ALT-a64 | 194 | 512 | 3 173 | 2.8 | - |
| unidir. A* | 0 | 16 | 57 385 | 36.6 | - |
| unidir. WA*-10% | 0 | 16 | 1 234 | 1.0 | 1.25% |
| unidir. WA*-21% | 0 | 16 | 724 | 0.7 | 2.87% |
| CH | 1 887 | 0 | 2 969 | 4.0 | - |
| apxCH-1% | 993 | -4 | 2 742 | 2.7 | 0.16% |
| apxCH-10% | 474 | -18 | 2 584 | 1.9 | 2.17% |
| apxCHALT-10% | 489 | 7 | 215 | 0.3 | 2.16% |
| apxCHALT-10% W-10% | 489 | 7 | 102 | 0.2 | 3.56% |

Danke für Ihre Aufmerksamkeit!



Zeit für Fragen

- III -

Backupfolien

Ergebnisse, Bilder

Verwendete Netzwerkstrukturen

- 5 Lochmuster, je 100 Knotenverteilungen generiert
- *Knotenverteilung*: auf pertubiertem Gitter / zufällig
- *Verbindungsmodell*: Unit Disk Graph / Quasi Unit Disk Graph

Verwendete Lochmuster



Verwendete Netzwerkstrukturen

- 5 Lochmuster, je 100 Knotenverteilungen generiert
- *Knotenverteilung*: auf pertubiertem Gitter / zufällig
- *Verbindungsmodell*: Unit Disk Graph / Quasi Unit Disk Graph

Bemerkungen

- eine der ersten quantitativen Analysen
- verwendet einfache Variante von MDS-BR mit $\alpha_{min} = 0.5\pi$, $r_{min} = 5$

Verwendete Netzwerkstrukturen

- 5 Lochmuster, je 100 Knotenverteilungen generiert
- *Knotenverteilung*: auf pertubiertem Gitter / zufällig
- *Verbindungsmodell*: Unit Disk Graph / Quasi Unit Disk Graph

Bemerkungen

- eine der ersten **quantitativen Analysen**
- verwendet einfache Variante von MDS-BR mit $\alpha_{min} = 0.5\pi$, $r_{min} = 5$

Verwendete Netzwerkstrukturen

- 5 Lochmuster, je 100 Knotenverteilungen generiert
- *Knotenverteilung*: auf pertubiertem Gitter / zufällig
- *Verbindungsmodell*: Unit Disk Graph / Quasi Unit Disk Graph

Bemerkungen

- eine der ersten quantitativen Analysen
- verwendet **einfache Variante von MDS-BR** mit $\alpha_{min} = 0.5\pi$, $r_{min} = 5$

Vergleich verschiedener Verfahren

- für alle Grapharten gute Ergebnisse ohne spezielle Optimierungen
- besser als bestehende Verfahren

Fehlklassifikation von **Randknoten** und **inneren Knoten** in %:

| | 12 | 15-rnd | 12-qudg |
|------------|------------|-------------|-------------|
| MDS-BR | 3.0 / 0.3 | 5.2 / 12.2 | 5.6 / 4.6 |
| Funke05 | 6.3 / 3.5 | 15.5 / 16.1 | 7.9 / 11.8 |
| Funke06 | 13.8 / 1.4 | 45.8 / 7.9 | 15.8 / 12.2 |
| Kroeller04 | 14.2 / 3.5 | 26.2 / 13.0 | 17.2 / 8.0 |

Vergleich verschiedener Verfahren

- für alle Grapharten gute Ergebnisse **ohne spezielle Optimierungen**
- besser als bestehende Verfahren

Fehlklassifikation von **Randknoten** und **inneren Knoten** in %:

| | 12 | 15-rnd | 12-qudg |
|------------|------------|-------------|-------------|
| MDS-BR | 3.0 / 0.3 | 5.2 / 12.2 | 5.6 / 4.6 |
| Funke05 | 6.3 / 3.5 | 15.5 / 16.1 | 7.9 / 11.8 |
| Funke06 | 13.8 / 1.4 | 45.8 / 7.9 | 15.8 / 12.2 |
| Kroeller04 | 14.2 / 3.5 | 26.2 / 13.0 | 17.2 / 8.0 |

Vergleich verschiedener MDS Varianten

- *MDS3*: verwendet 3-hop Nachbarschaft
- *SSMDS*: verwendet Signalstärke
- *OPT*: verwendet wahre Winkel

Fehlklassifikation von **Randknoten** und **inneren Knoten** in %:

| | 15 | 15-rnd | 15-qudg |
|-------|-----------|------------|-----------|
| MDS | 3.5 / 0.1 | 5.1 / 12.4 | 6.8 / 0.6 |
| MDS3 | 1.8 / 0.2 | 3.7 / 12.1 | 3.5 / 0.6 |
| SSMDS | 0.6 / 0.2 | 1.9 / 14.9 | 1.3 / 1.0 |
| OPT | 0.4 / 0.1 | 6.5 / 10.5 | 0.8 / 0.4 |

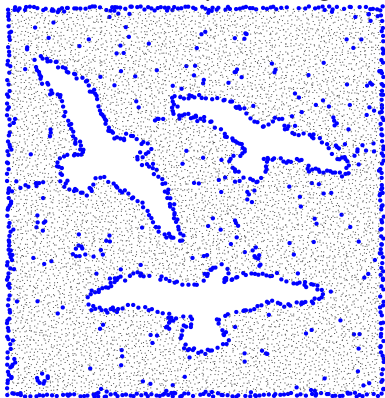
Vergleich verschiedener MDS Varianten

- *MDS3*: verwendet 3-hop Nachbarschaft
- *SSMDS*: verwendet Signalstärke
- *OPT*: verwendet wahre Winkel

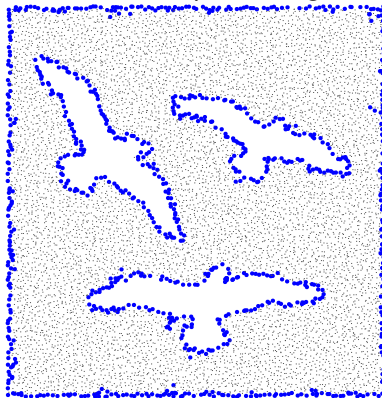
Fehlklassifikation von **Randknoten** und **inneren Knoten** in %:

| | 15 | 15-rnd | 15-qudg |
|--------------|-----------|------------|-----------|
| MDS | 3.5 / 0.1 | 5.1 / 12.4 | 6.8 / 0.6 |
| MDS3 | 1.8 / 0.2 | 3.7 / 12.1 | 3.5 / 0.6 |
| SSMDS | 0.6 / 0.2 | 1.9 / 14.9 | 1.3 / 1.0 |
| OPT | 0.4 / 0.1 | 6.5 / 10.5 | 0.8 / 0.4 |

ohne Nachoptimierung



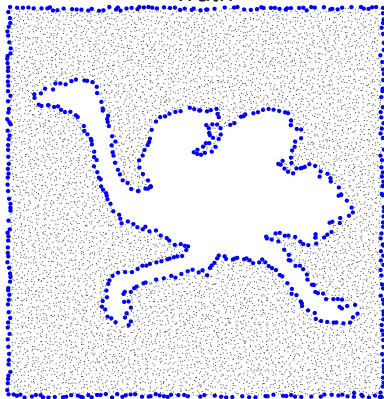
mit Nachoptimierung



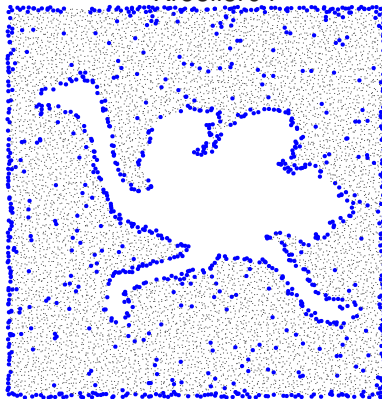
Ergebnisse

Vergleiche

Truth



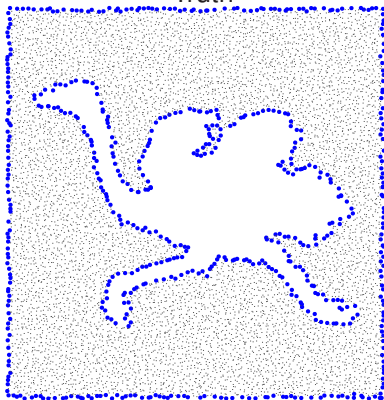
Kroeller04



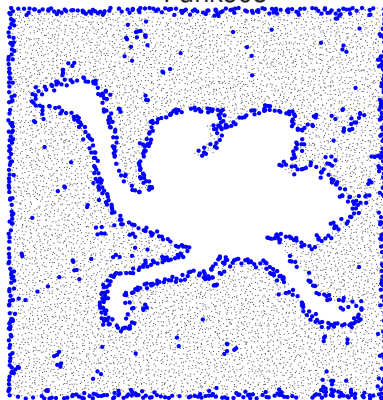
Ergebnisse

Vergleiche

Truth



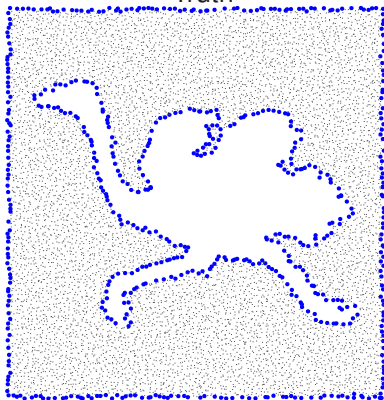
Funke05



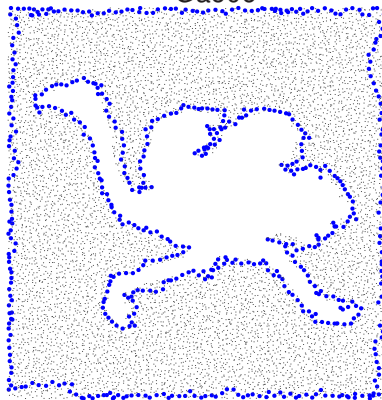
Ergebnisse

Vergleiche

Truth



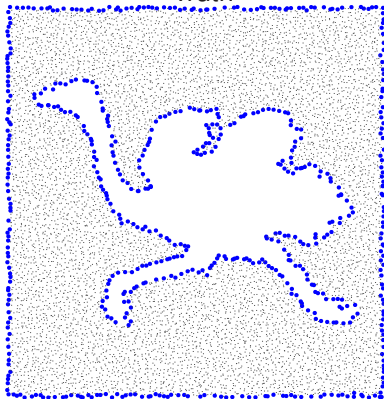
Gao06



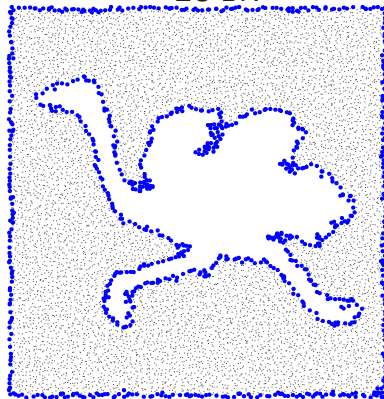
Ergebnisse

Vergleiche

Truth



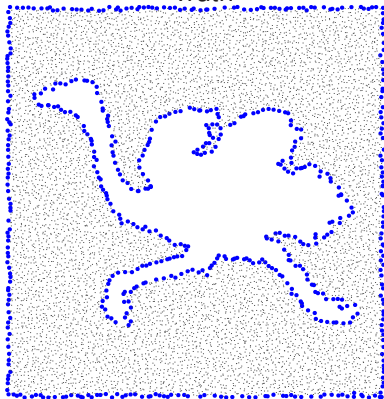
EC-BR



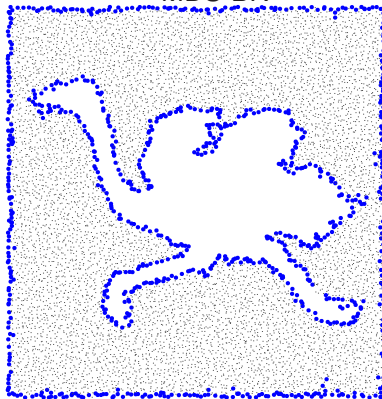
Ergebnisse

Vergleiche

Truth



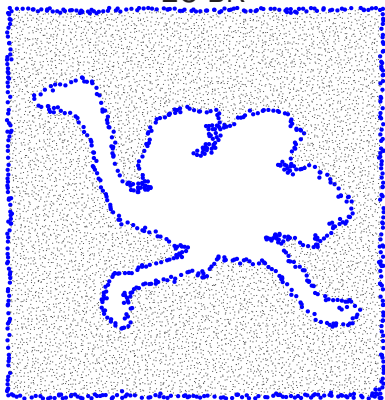
MDS-BR



Ergebnisse

Vergleiche

EC-BR



MDS-BR

